



**ITS**  
Institut  
Teknologi  
Sepuluh Nopember

TUGAS AKHIR - KI141502

**DESAIN DAN IMPLEMENTASI APLIKASI PENGOLAHAN  
SKYLINE QUERY PADA UNCERTAIN DATA STREAMING  
OLEH TITIK BERGERAK DAN OBJEK TIDAK BERGERAK  
PADA JARINGAN JALAN RAYA**

**SYUKRON RIFA'IL MUTTAQI**  
NRP 5114 100 093

Dosen Pembimbing 1  
Royyana M Ijtihadie, S.Kom, M.Kom, Ph.D.

Dosen Pembimbing 2  
Bagus Jati Santoso, S.Kom., Ph.D.

**DEPARTEMEN INFORMATIKA**  
Fakultas Teknologi Informasi dan Komunikasi  
Institut Teknologi Sepuluh Nopember  
Surabaya, 2018

*Halaman ini sengaja dikosongkan*



**TUGAS AKHIR - KI141502**

**DESAIN DAN IMPLEMENTASI APLIKASI PENGOLAHAN  
SKYLINE QUERY PADA UNCERTAIN DATA STREAMING  
OLEH TITIK BERGERAK DAN OBJEK TIDAK BERGERAK  
PADA JARINGAN JALAN RAYA**

**SYUKRON RIFA'IL MUTTAQI  
NRP 5114 100 093**

**Dosen Pembimbing 1  
Royyana M Ijtihadie, S.Kom, M.Kom, Ph.D.**

**Dosen Pembimbing 2  
Bagus Jati Santoso, S.Kom., Ph.D.**

**DEPARTEMEN INFORMATIKA  
Fakultas Teknologi Informasi dan Komunikasi  
Institut Teknologi Sepuluh Nopember  
Surabaya, 2018**

*Halaman ini sengaja dikosongkan*



UNDERGRADUATE THESES - KI141502

**DESIGN AND IMPLEMENTATION OF SKYLINE QUERY  
PROCESSING ON UNCERTAIN DATA STREAMING BY  
MOVING QUERY POINTS AND STATIC OBJECTS ON ROAD  
NETWORK**

SYUKRON RIFA'IL MUTTAQI  
NRP 5114 100 093

Supervisor 1  
Royyana M Ijtihadie, S.Kom, M.Kom, Ph.D.

Supervisor 2  
Bagus Jati Santoso, S.Kom., Ph.D.

DEPARTMENT OF INFORMATICS  
Faculty of Information and Communication Technology  
Institut Teknologi Sepuluh Nopember  
Surabaya, 2018

*Halaman ini sengaja dikosongkan*

**DESAIN DAN IMPLEMENTASI APLIKASI  
PENGOLAHAN SKYLINE QUERY PADA UNCERTAIN  
DATA STREAMING OLEH TITIK BERGERAK DAN  
OBJEK TIDAK BERGERAK PADA JARINGAN JALAN  
RAYA**

**TUGAS AKHIR**

Diajukan Guna Memenuhi Salah Satu Syarat  
Memperoleh Gelar Sarjana Komputer  
pada  
Bidang Studi Komputasi Berbasis Jaringan  
Program Studi S-1 Departemen Informatika  
Fakultas Teknologi Informasi dan Komunikasi  
Institut Teknologi Sepuluh Nopember

Oleh:

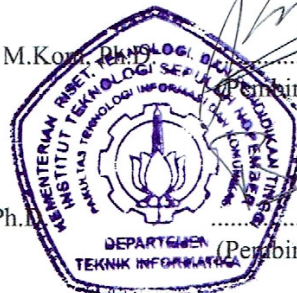
**Syukron Rifa'il Muttaqi**

NRP: 5114 100 093

Disetujui oleh Dosen Pembimbing Tugas Akhir:

Royyana M Ijtihadie, S.Kom, M.Kom, **TEKNOLOGI, DAN**.....  
NIP: 197708242006041001 (Pembimbing 1)

Bagus Jati Santoso, S.Kom., Ph.D.....  
NIP: 198611252018031001 (Pembimbing 2)



**SURABAYA  
JUNI 2018**

*Halaman ini sengaja dikosongkan*



# **DESAIN DAN IMPLEMENTASI APLIKASI PENGOLAHAN SKYLINE QUERY PADA UNCERTAIN DATA STREAMING OLEH TITIK BERGERAK DAN OBJEK TIDAK BERGERAK PADA JARINGAN JALAN RAYA**

Nama : SYUKRON RIFA'IL MUTTAQI  
NRP : 5114 100 093  
Departemen : Informatika FTIK-ITS  
Pembimbing I : Royyana M Ijtihadie, S.Kom, M.Kom, Ph.D.  
Pembimbing II : Bagus Jati Santoso, S.Kom., Ph.D.

## **Abstrak**

*Penelitian ini bertujuan untuk memaparkan desain dan implementasi aplikasi pengolahan skyline query pada uncertain data streaming oleh titik bergerak dan objek tidak bergerak pada jaringan jalan raya. Pada kasus tertentu, pengguna teknologi membutuhkan pengambilan dan pemrosesan data terbaik dengan cepat dan tepat. Diantara permasalahan mengenai pemrosesan data yaitu pencarian objek yang paling unggul pada data spasial. Jaringan jalan raya road network adalah salah satu bentuk data yang bersifat spasial. Pencarian data pada jaringan jalan raya bersifat relatif terhadap titik query tertentu. Jika titik berpindah, maka perlu pemrosesan ulang data yang unggul sesuai titik terakhir. Metode ini kurang efisien karena biaya komputasi sangat tergantung pada titik query. Jika titik query selalu berpindah, maka dibutuhkan pemrosesan tersendiri yang bersifat kontinu sehingga tidak diperlukan banyak komputasi ketika titik query mengalami perpindahan.*

*Penggunaan skyline query pada kasus demikian menjadi kompleks ketika bersinggungan dengan uncertain data streaming dan jaringan jalan raya. Tugas akhir ini memaparkan algoritma  $CSd_{\epsilon}$ , yaitu metode pencarian data yang dominan dengan menggunakan*

*struktur data Grid dan R-Tree. Hasil yang didapatkan berupa jalan beserta titik-titik skyline yang terdapat pada jalan tersebut. Data dapat masuk dan kadaluarsa/expire. Data streaming yang masuk/kadaluarsa pada sistem diproses satu per satu dan hasil dari pemrosesan/skyline points didapatkan pada setiap data yang masuk/kadaluarsa secara langsung. Dengan demikian, titik query yang banyak tidak mengurangi performa dari pencarian data. Pada proses pengujian, waktu komputasi algoritma  $CSd_\epsilon$  lebih cepat 600 kali lebih cepat dan penggunaan memori 1500 lebih cepat kali lebih hemat daripada algoritma naive.*

**Kata Kunci:** *skyline query, uncertain data streaming, jaringan jalan raya*

# DESIGN AND IMPLEMENTATION OF SKYLINE QUERY PROCESSING ON UNCERTAIN DATA STREAMING BY MOVING QUERY POINTS AND STATIC OBJECTS ON ROAD NETWORK

Name : SYUKRON RIFA'IL MUTTAQI  
NRP : 5114 100 093  
Major : Department of Informatics Faculty of ICT-ITS  
Supervisor I : Royyana M Ijtihadie, S.Kom, M.Kom, Ph.D.  
Supervisor II : Bagus Jati Santoso, S.Kom., Ph.D.

## Abstract

*This study aims to describe the design and implementation of skyline query processing applications on uncertain data streaming by moving points and immovable objects on the road network. In some cases, users need the best and fastest data retrieval and processing. Among the problems of data processing is the search for the most superior objects in spatial data. Highway network road network is one form of data that is spatial. The search for data on a highway network is relative to a particular query point. If the query point moves, it will need to reprocess the data. This method is less efficient because the cost of computing is highly dependent on the query point. If the query point always moves, it requires continuous processing that is not required for much computation when the query point changes.*

*The use of skyline queries in such cases becomes complex when in contact with uncertain streaming data and highway networks. This final project describes algorithm  $CSd_{\epsilon}$ , the dominant data search method using Grid and R-Tree data structures. The results obtained in the form of roads along with the skyline points contained on the road. Data can enter and expire / expire. Incoming / expired stream data streaming on the system is processed one at a time and the result of skyline processing is obtained on each incoming*

*/ outdated data directly. Thus, many query points do not decrease the performance of data processing. In the testing process,  $CSd_\epsilon$  algorithm computation time is 600 times faster and memory usage is 1500 times more efficient than the naive algorithm.*

**Keywords:** *skyline query, uncertain data streaming, road network*

## KATA PENGANTAR

Puji syukur penulis panjatkan kepada Allah Subhanahu wa Ta'ala, *rabb* semesta alam, atas pertolongan, taufiq, dan petunjuk-Nya sehingga penulis dapat menyelesaikan Tugas Akhir yang berjudul :

### **DESAIN DAN IMPLEMENTASI APLIKASI PENGOLAHAN SKYLINE QUERY PADA UNCERTAIN DATA STREAMING OLEH TITIK BERGERAK DAN OBJEK TIDAK BERGERAK PADA JARINGAN JALAN RAYA.**

Banyak pengalaman berharga telah penulis dapatkan selama proses penulisan tugas akhir ini. Tentunya hal tersebut tidak lepas dari dukungan berbagai pihak. Penulis ucapkan terima kasih banyak kepada:

1. Ibuk, Bapak, Fariq, dan segenap keluarga yang telah mendukung dan memotivasi seumur hidup penulis.
2. Bapak Bagus Jati Santoso, S.Kom., Ph.D dan Bapak Royyana Muslim Ijtihadie, S.Kom., M.Kom., Ph.D sebagai pembimbing selama persiapan hingga selesainya penulisan buku ini.
3. Bapak Darlis Herumurti, S.Kom., M.Kom., selaku Kepala Jurusan Teknik Informatika ITS pada masa pengerjaan Tugas Akhir, Bapak Radityo Anggoro, S.Kom., M.Sc., selaku koordinator TA, dan segenap dosen Informatika yang telah memberikan ilmu dan pengalamannya.
4. Teman-teman Lab AJK yang telah menemani dan membantu penulis selama mengerjakan tugas akhir di Lab: Oing, Fatih, Ambon, Thoni, Vivi, Bebet, Nahda, Fuad, Awan, Penyok,

Daus, Satria, Didin, Hana, Raldo, Khawari, dan Aguel.

5. Teman seperjuangan dan sepebimbingan: Ovan, Wira, Sekbay, Dwika, Tosca, dan Cahya.
6. Dan teman-teman yang telah membantu dan menemani yang tidak bisa saya sebutkan satu per satu namanya.

Surabaya, Januari 2018

Syukron Rifa'il Muttaqi

## DAFTAR ISI

<b>SAMPUL</b> . . . . .	<b>i</b>
<b>LEMBAR PENGESAHAN</b> . . . . .	<b>viii</b>
<b>ABSTRAK</b> . . . . .	<b>ix</b>
<b>ABSTRACT</b> . . . . .	<b>xi</b>
<b>KATA PENGANTAR</b> . . . . .	<b>xiii</b>
<b>DAFTAR ISI</b> . . . . .	<b>xv</b>
<b>DAFTAR TABEL</b> . . . . .	<b>xix</b>
<b>DAFTAR GAMBAR</b> . . . . .	<b>xxi</b>
<b>DAFTAR KODE SUMBER</b> . . . . .	<b>xxiii</b>
<b>BAB I PENDAHULUAN</b> . . . . .	<b>1</b>
1.1 Latar Belakang . . . . .	1
1.2 Rumusan Masalah . . . . .	2
1.3 Batasan Masalah . . . . .	3
1.4 Tujuan . . . . .	3
1.5 Manfaat . . . . .	3
<b>BAB II DASAR TEORI</b> . . . . .	<b>5</b>
2.1 Pengantar . . . . .	5
2.2 Skyline . . . . .	5
2.3 <i>Skyline Query</i> pada Jaringan Jalan Raya . . . . .	6
2.4 <i>Uncertain Data</i> . . . . .	8
2.5 <i>Sliding Window</i> . . . . .	9
2.6 Scala . . . . .	10
2.7 JavaScript . . . . .	10
2.8 D3.js . . . . .	11
<b>BAB III DESAIN</b> . . . . .	<b>13</b>
3.1 Daftar Istilah . . . . .	13
3.2 Pengantar . . . . .	13
3.3 Struktur Data . . . . .	17
3.4 Probabilitas <i>Skyline</i> pada <i>Uncertain Data</i> . . . . .	20

3.5	Pemrosesan <i>Uncertain Data Streaming</i> . . . . .	21
3.6	Proses <i>Insertion</i> . . . . .	24
3.7	Proses <i>Deletion</i> . . . . .	26
3.8	Penentuan <i>GSP(Global Skyline Points)</i> . . . . .	28
3.9	Proses <i>Compute Turning Point</i> . . . . .	30
3.10	Algoritme <i>Naive</i> . . . . .	34
3.11	Perancangan Arsitektur Implementasi . . . . .	36
<b>BAB IV IMPLEMENTASI</b> . . . . .		<b>39</b>
4.1	Pengantar . . . . .	39
4.2	Implementasi Menentukan <i>GSP</i> . . . . .	39
4.3	Implementasi Fungsi <i>Insertion()</i> . . . . .	40
4.4	Implementasi Fungsi <i>Deletion</i> . . . . .	42
4.5	Implementasi Penentuan <i>Turning-point</i> . . . . .	42
4.6	Implementasi Antarmuka Simulasi . . . . .	45
<b>BAB V UJI COBA DAN EVALUASI</b> . . . . .		<b>47</b>
5.1	Lingkungan Uji Coba . . . . .	47
5.2	Data Uji Coba . . . . .	47
5.2.1	Data <i>Independent (IND)</i> . . . . .	47
5.2.2	Data <i>Anticorrelated (ANT)</i> . . . . .	48
5.2.3	Data <i>Correlated (COR)</i> . . . . .	48
5.3	Skenario Uji Coba . . . . .	48
5.3.1	Skenario Uji Coba <i>Performance</i> . . . . .	49
5.3.1.1	Skenario Uji Coba <i>Performance</i> Terhadap Perubahan Jumlah Sel	49
5.3.1.2	Skenario Uji Coba <i>Performance</i> Terhadap Perubahan Jumlah Objek	51
5.3.1.3	Skenario Uji Coba <i>Performance</i> Terhadap Perubahan Jumlah <i>Instance</i> pada Objek . . . . .	53
5.3.1.4	Skenario Uji Coba <i>Performance</i> Terhadap Perubahan Panjang Jarak Maksimal $d_\epsilon$ . . . . .	55



5.3.1.5	Skenario Uji Coba <i>Performance</i> Terhadap Perubahan Dimensi Data	57
5.3.1.6	Skenario Uji Coba <i>Performance</i> Terhadap Jenis Data . . . . .	59
<b>BAB VI PENUTUP</b>	. . . . .	<b>61</b>
6.1	Kesimpulan . . . . .	61
6.2	Saran . . . . .	61
<b>DAFTAR PUSTAKA</b>	. . . . .	<b>63</b>
<b>Lampiran A</b>	<b>Kode Sumber</b> . . . . .	<b>65</b>
<b>BIODATA PENULIS</b>	. . . . .	<b>97</b>

*Halaman ini sengaja dikosongkan*

## DAFTAR TABEL

Tabel 2.1	Simbol dan deskripsi pada bab ini . . . . .	5
Tabel 3.1	Simbol dan deskripsi pada bab ini . . . . .	13
Tabel 3.2	Atribut dari objek . . . . .	17
Tabel 3.3	Atribut dari <i>node</i> . . . . .	19
Tabel 3.4	Atribut dari <i>metadata</i> dari objek pada node $n$	19
Tabel 3.5	Atribut dari <i>edge</i> . . . . .	20
Tabel 3.6	Contoh <i>uncertain data</i> beserta probabilitas <i>skyline</i> -nya . . . . .	22
Tabel 5.1	Atribut dari objek . . . . .	48

*Halaman ini sengaja dikosongkan*

## DAFTAR GAMBAR

Gambar 2.1	Contoh <i>skyline</i> sederhana . . . . .	6
Gambar 2.2	Contoh <i>skyline</i> pada jaringan jalan raya . . . . .	8
Gambar 3.1	Alur pemrosesan . . . . .	14
Gambar 3.2	Objek masuk pada grid indeks . . . . .	15
Gambar 3.3	Dengan $d_\varepsilon=150$ , $o_2$ hanya masuk pada <i>node</i> $n_4$ dan $n_5$ . . . . .	15
Gambar 3.4	Kiri: <i>landmark</i> yang didapat dari <i>edge</i> . Kanan: <i>turning-point</i> didapat dari <i>landmark</i>	16
Gambar 3.5	Struktur data grid indeks . . . . .	18
Gambar 3.6	$X_1$ , $X_2$ , dan $X_3$ beserta masing-masing MBR	22
Gambar 3.7	Empat area pada bidang 2 dimensi . . . . .	23
Gambar 3.8	Alur objek masuk pada <i>node</i> . . . . .	25
Gambar 3.9	Objek $X_4$ masuk ke SW-Tree, objek $X_1$ ditandai sebagai objek <i>impossible</i> . . . . .	26
Gambar 3.10	Alur proses <i>Deletion</i> . . . . .	27
Gambar 3.11	Objek $X_1$ kadaluarsa dan keluar dari SW-Tree	28
Gambar 3.12	Alur pencarian <i>GSP</i> . . . . .	29
Gambar 3.13	Alur pencarian <i>turning-point</i> . . . . .	30
Gambar 3.14	Contoh penentuan <i>landmark</i> dan <i>turning-point</i>	33
Gambar 3.15	Alur metode <i>naive</i> . . . . .	35
Gambar 3.16	Arsitektur implementasi . . . . .	36
Gambar 4.1	Algoritme <i>DetermineGSP</i> . . . . .	40
Gambar 4.2	Algoritme <i>Insertion</i> . . . . .	41
Gambar 4.3	Algoritme <i>Deletion</i> . . . . .	42
Gambar 4.4	Algoritme <i>Compute Turning Point</i> bagian 1	43
Gambar 4.5	Algoritme <i>Compute Turning Point</i> bagian 2	44
Gambar 4.6	Antarmuka masukan <i>node</i> awal dan <i>node</i> tujuan . . . . .	45

Gambar 4.7	Objek yang menjadi <i>SP</i> pada momen diatas adalah objek 22. . . . .	46
Gambar 5.1	Pengaruh jumlah sel terhadap waktu komputasi tiap operasi dalam satuan detik .	50
Gambar 5.2	Pengaruh jumlah sel grid terhadap penggunaan memori dalam satuan megabita	51
Gambar 5.3	Pengaruh jumlah objek terhadap waktu komputasi tiap operasi dalam satuan detik .	52
Gambar 5.4	Pengaruh jumlah objek terhadap penggunaan memori dalam satuan megabita	53
Gambar 5.5	Pengaruh jumlah <i>instance</i> terhadap waktu komputasi tiap operasi dalam satuan detik .	54
Gambar 5.6	Pengaruh jumlah <i>instance</i> terhadap penggunaan memori dalam satuan megabita	55
Gambar 5.7	Pengaruh $d_\epsilon$ terhadap waktu komputasi tiap operasi dalam satuan detik . . . . .	56
Gambar 5.8	Pengaruh $d_\epsilon$ terhadap penggunaan memori dalam satuan megabita . . . . .	57
Gambar 5.9	Pengaruh dimensi terhadap waktu komputasi tiap operasi dalam satuan detik . . . . .	58
Gambar 5.10	Pengaruh dimensi terhadap penggunaan memori dalam satuan megabita . . . . .	59
Gambar 5.11	Pengaruh jenis data terhadap waktu komputasi tiap operasi dalam satuan detik .	60

## DAFTAR KODE SUMBER

Kode Sumber 1.1	Kode sumber kelas <i>Edge</i> . . . . .	65
Kode Sumber 1.2	Kode sumber kelas <i>Node</i> . . . . .	65
Kode Sumber 1.3	Kode sumber kelas <i>Object</i> . . . . .	65
Kode Sumber 1.4	Kode sumber pemrosesan utama . . . . .	65
Kode Sumber 1.5	Kode sumber penentuan <i>turning-point</i> .	70
Kode Sumber 1.6	Kode sumber graf sementara . . . . .	75
Kode Sumber 1.7	Kode sumber penentuan grid . . . . .	76
Kode Sumber 1.8	Kode sumber titik dua dimensi . . . . .	80
Kode Sumber 1.9	Kode sumber kotak dua dimensi . . . . .	82
Kode Sumber 1.10	Kode sumber visualisasi HMTL . . . . .	87
Kode Sumber 1.11	Kode sumber visualisasi utama dengan JavaScript . . . . .	87
Kode Sumber 1.12	Kode sumber visualisasi dengan CSS .	95

*Halaman ini sengaja dikosongkan*



# BAB I

## PENDAHULUAN

Pada bab ini akan dijelaskan latar belakang, rumusan masalah, batasan masalah, tujuan, manfaat, metodologi dan sistematika penulisan tugas akhir.

### 1.1 Latar Belakang

Cepatnya pertumbuhan dan perkembangan teknologi memicu banyaknya data yang diproduksi. Banyaknya data yang berpindah mendorong proses pengolahan data menjadi lebih cepat. Bertambahnya pengguna teknologi dan internet juga mendorong frekuensi pengambilan data agar menjadi lebih efektif dan efisien.

Pada kasus tertentu, pengguna teknologi membutuhkan pengambilan dan pemrosesan data terbaik dengan cepat dan tepat. Diantara permasalahan mengenai pemrosesan data yaitu pencarian objek yang paling unggul pada data spasial. Jaringan jalan raya *road network* adalah salah satu bentuk data yang bersifat spasial. Pencarian data pada jaringan jalan raya bersifat relatif terhadap titik *query* tertentu. Jika titik berpindah, maka perlu pemrosesan ulang data yang unggul sesuai titik terakhir. Metode ini kurang efisien karena biaya komputasi sangat tergantung pada titik *query*. Jika titik *query* selalu berpindah, maka dibutuhkan pemrosesan tersendiri yang bersifat kontinu sehingga tidak diperlukan banyak komputasi ketika titik *query* mengalami perpindahan.

Banyaknya teknologi yang digunakan sekarang membuat *uncertain data* semakin banyak. *Uncertain data* adalah dan tersebar

pada interval tertentu. Beberapa contoh dari *uncertain data* yaitu [5]:

1. Banyak instrumen pengukuran yang memiliki tingkat ketelitian yang kurang baik.
2. Pada kasus ini, tingkat ketidakpastian dapat didapat dari kesalahan pada instrumen.
3. Banyak perangkat keras yang menghasilkan data yang tidak pasti, seperti sensor.

*Query* data terunggul dari *uncertain data* memerlukan metode tersendiri untuk menyelesaikannya.

Diantara algoritme pencarian data paling unggul adalah metode *skyline*, termasuk pada jaringan jalan raya. Metode ini dapat diterapkan pada jaringan jalan raya dengan menggunakan *uncertain data*. Struktur data khusus diperlukan agar proses pencarian data/*query* dapat dilakukan secara *real time*.

## 1.2 Rumusan Masalah

Rumusan masalah yang diangkat dalam tugas akhir ini dapat dipaparkan sebagai berikut:

1. Bagaimana struktur data dan algoritma untuk desain dan implementasi aplikasi pengolahan *skyline query* pada *uncertain data streaming* oleh titik bergerak dan objek tidak bergerak pada jaringan jalan raya?
2. Bagaimana cara mengetahui biaya komputasi dan penyimpanan pada desain dan implementasi aplikasi pengolahan *skyline query* pada *uncertain data streaming* oleh titik bergerak dan objek tidak bergerak pada jaringan jalan raya?

### 1.3 Batasan Masalah

Permasalahan yang dibahas pada Tugas Akhir ini memiliki beberapa batasan, yaitu sebagai berikut:

1. Implementasi algoritma dan pemrosesan menggunakan bahasa pemrograman Scala.
2. Data set yang digunakan adalah jaringan jalan raya asli dan sintetis.
3. *Uncertain data* menggunakan jenis *tuple-level uncertainty* dan dimodelkan dalam *probabilistic model*.

### 1.4 Tujuan

Tujuan dari Tugas Akhir ini adalah sebagai berikut:

1. Mendesain struktur data dan algoritma untuk desain dan implementasi aplikasi pengolahan *skyline query* pada *uncertain data streaming* oleh titik bergerak dan objek tidak bergerak pada jaringan jalan raya.
2. Menemukan metode untuk mengetahui biaya komputasi dan penyimpanan pada desain dan implementasi aplikasi pengolahan *skyline query* pada *uncertain data streaming* oleh titik bergerak dan objek tidak bergerak pada jaringan jalan raya.

### 1.5 Manfaat

Manfaat Tugas Akhir ini adalah untuk mengetahui struktur data dan algoritma yang tepat untuk pengolahan *skyline query* pada *uncertain data streaming* oleh titik bergerak pada jaringan jalan raya secara optimal dan efisien.

Apabila dilihat dari sisi praktis, algoritme ini dapat digunakan untuk berbagai hal. Sebagai contoh, sebuah perusahaan periklanan ingin menampilkan iklan dari suatu *point of interest* yang

disesuaikan dengan lokasi target pengguna. Dengan algoritme ini, sistem dapat memberikan *point of interest* yang relevan dengan jarak target pengguna serta *point of interest* yang paling dominan.

## BAB II

### DASAR TEORI

#### 2.1 Pengantar

Bab ini menjelaskan mengenai dasar dari metode yang diusulkan pada Bab III. Berikut disajikan tabel mengenai simbol yang digunakan

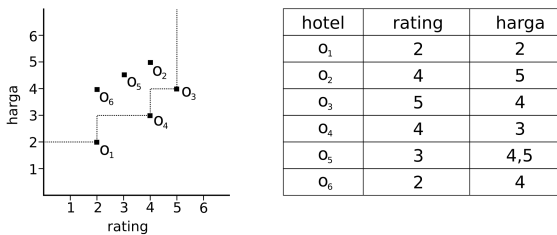
Tabel 2.1 Simbol dan deskripsi pada bab ini

Simbol	Deskripsi
$d$	Dimensi data
$o$	Objek
$o \prec o'$	Tuple $o$ mendominasi $o'$
$x$	<i>Uncertain data tuple</i>
$d$	Dimensi data
$SP$	<i>Skyline Point</i> , himpunan objek yang menjadi <i>skyline</i>

#### 2.2 Skyline

Pada himpunan titik pada multidimensi  $d$ , *skyline* dari data tersebut adalah titik yang tidak didominasi oleh titik lain. Titik  $o$  mendominasi titik  $o'$ , dinotasikan sebagai  $o \prec o'$ , apabila setiap nilai dari atribut pada  $o$  lebih baik atau sama dengan yang terdapat pada  $o'$  dan setidaknya terdapat satu atribut  $o$  yang lebih baik daripada yang terdapat pada  $o'$ . Titik titik yang mendominasi tersebut disebut dengan *skyline points* ( $SP$ ).

Sebagai contoh, seseorang ingin mencari hotel terbaik dari sekumpulan hotel. Sebuah hotel dikatakan lebih baik apabila memiliki rating yang lebih tinggi dan/atau harga yang lebih rendah.



Gambar 2.1 Contoh *skyline* sederhana

*SP* pada Gambar 2.1 adalah hotel yang memiliki ranking yang tinggi dan harga yang rendah. Objek yang menjadi bagian dari *SP* adalah hotel  $o_1$ ,  $o_3$  dan  $o_4$ . Ketiga objek tersebut tidak didominasi oleh objek yang lain. Hotel  $o_6$  didominasi oleh  $o_4$  pada atribut rating dan harga, didominasi oleh  $o_1$  pada atribut harga, dan didominasi oleh  $o_3$  pada atribut rating. Demikian juga untuk objek  $o_2$  dan  $o_5$ , masing-masing didominasi oleh objek lain. Dengan demikian, hanya  $o_1$ ,  $o_3$ , dan  $o_4$  yang tidak didominasi objek lain[1].

### 2.3 *Skyline Query* pada Jaringan Jalan Raya

*Skyline query* tradisional seperti pada Gambar 2.1 hanya menggunakan atribut statis sebagai penentuan *SP*, yaitu atribut ranking dan hotel. Jika *skyline query* ditempatkan pada jaringan jalan raya seperti pada Gambar 2.3, maka perlu menambahkan jarak sebagai salah satu atribut dalam menentukan *SP*.

Pada Gambar 2.1, hotel yang menjadi *SP* adalah  $o_1$ ,  $o_2$  dan  $o_3$ . Ketika hotel  $o_1$  hingga  $o_5$  dimasukkan dalam jaringan jalan raya seperti pada Gambar 2.2,  $o_5$  tidak lagi didominasi oleh  $o_4$  sehingga  $o_5$  bergabung menjadi bagian dari *SP*. Hal tersebut dikarenakan jarak antara titik *query*  $q$  dengan  $o_5$  tidak didominasi oleh  $o_1$ ,  $o_2$  maupun  $o_3$ . Atribut jarak ini akan berubah-ubah sesuai dengan jarak titik *query*  $q$  dengan masing-masing objek. Oleh karena itu, atribut

jarak disebut sebagai atribut dinamis [1].

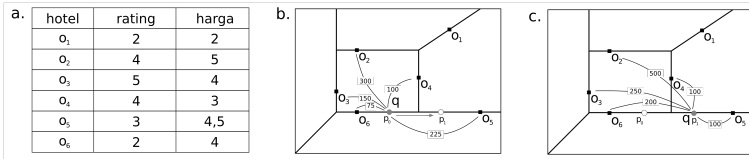
Skyline *query* yang hanya menggunakan atribut statis dapat dicari *SP*-nya dengan sekali proses *query*, atau disebut dengan *snapshot skyline query*. Pada kasus jaringan jalan raya, titik *query* dapat bergerak dengan leluasa. Metode naif yang paling mudah diimplementasikan yaitu melakukan proses *query* ketika titik *query* bergerak. Namun hal ini tentunya sangat tidak efektif mengingat banyaknya komputasi yang dilakukan apabila terdapat banyak titik *query* dan titik *query* tersebut sering bergerak.

Pada kasus tertentu objek *SP* memiliki jarak yang sangat jauh dari titik *query*. Objek tersebut seringkali tidak diinginkan karena kita mencari titik *query* yang dekat karena untuk mencapai objek yang jauh membutuhkan biaya lebih besar dalam hal transportasi.

Y.-K. Huang et al. telah mengusulkan metode untuk menyelesaikan permasalahan ini dengan metode *continuous  $d_\epsilon$ -skyline query* ( $Cd_\epsilon - SQ$ ) [1]. Metode ini menggunakan jarak  $d_\epsilon$  sebagai batas maksimal jarak antara titik *query* dengan objek.

$Cd_\epsilon - SQ$  didefinisikan sebagai: Diketahui jalan  $P_q$  sebagai jalan tempat titik *query*  $q$  bergerak di atasnya, himpunan objek  $S_o$ , dan jarak  $d_\epsilon$ . Kueri  $Cd_\epsilon - SQ$  menghasilkan himpunan skyline point,  $SP_p$  pada setiap titik  $p$  pada  $P_q$ , yang memiliki jarak antara  $o \in SP_p$  ke titik  $p$  kurang dari sama dengan  $d_\epsilon$ . *SP* yang memenuhi  $Cd_\epsilon - SQ$  dinotasikan sebagai  $d_\epsilon - SP$ .

Gambar 2.2 mengilustrasikan pemrosesan *skyline* pada jaringan jalan raya. Gambar 2.3(a) menampilkan atribut statis dari keempat objek. Contoh tersebut mensimulasikan pencarian  $d_\epsilon - SP$  pada titik *query*  $q$  yang bergerak dari titik  $p_1$  ke  $p_2$ . Ketika  $q$  berada pada koordinat  $p_1$  (lihat Gambar 2.3(b)), anggota dari  $d_\epsilon - SP$  hanyalah  $o_2$ .  $o_4$  tidak dapat menjadi  $d_\epsilon - SP$  karena didominasi oleh



Gambar 2.2 Contoh *skyline* pada jaringan jalan raya

$o_2$  dalam hal atribut statis(harga dan rating) maupun dinamis(jarak).  $o_1$  dan  $o_3$  tidak tergabung dalam  $d_\epsilon - SP$  karena memiliki jarak lebih dari  $d_\epsilon$ . Selanjutnya, seperti yang terlihat pada Gambar 2.3(c), titik *query*  $q$  bergerak ke kiri sampai tepat di titik  $p_2$  sehingga jarak antara titik *query*  $q$  dengan  $o_2$  dan  $o_4$  menjadi sama. Ketika titik *query*  $q$  bergerak ke kiri,  $o_4$  menjadi lebih dekat kepada  $q$  dibandingkan  $o_2$ . Dengan demikian,  $o_2$  tergabung menjadi  $d_\epsilon - SP$  karena jarak  $o_2$  tidak lagi didominasi oleh  $o_4$ . Selanjutnya  $d_\epsilon - SP$ -nya adalah  $o_2$  dan  $o_4$ .

Dalam menentukan  $d_\epsilon - SP$ , yang pertama dilakukan adalah menghitung jarak terdekat antar dua objek. Penghitungan tersebut dapat dilakukan dengan algoritme Dijkstra atau A\*. Perlu digarisbawahi, penghitungan jarak terdekat membutuhkan sumber daya yang besar apabila terdapat banyak jalan(*edge*) dan persimpangan(*node*). Diantara hal yang menjadi tantangan adalah titik *query* seringkali berpindah-pindah sehingga diperlukan metode khusus agar komputasi tidak dilakukan berulang kali dan menggunakan sumber daya yang banyak [1].

## 2.4 *Uncertain Data*

Pemrosesan *uncertain data* mendapat banyak perhatian pada beberapa tahun terakhir. *Uncertain data* dapat ditemukan pada berbagai bidang, seperti jaringan sensor, jaringan RFID, sistem pelacakan lokasi menggunakan GPS, dan sosial media [4]. Beberapa perangkat memang menghasilkan data yang cenderung



tidak pasti (*uncertain*). Sebagai contoh, data yang dihasilkan oleh sensor cenderung tidak pasti karena hilangnya data ketika transmisi, galat pada perangkat sensor itu sendiri atau karena lingkungan yang berubah-ubah [2].

Seringkali data pada lingkungan bersifat dinamis dan kontinu. Sebagai contoh, pada jaringan sensor, *gateway sensor* mengirim hasil secara kontinu, pemantauan cuaca mendapatkan data secara kontinu dengan komputasi waktu nyata. Hal tersebut menjadi tantangan tersendiri, yaitu pemrosesan *uncertain data streaming* dengan efektif dan efisien sehingga hasil didapatkan di waktu itu juga [2].

## 2.5 *Sliding Window*

Pengolahan data statis yang banyak pada memori sekunder membutuhkan waktu yang lama. Kini, paradigma sudah banyak beralih kepada data stream. *Sliding window* adalah salah satu metode pemrosesan data *stream* yang efisien. *Sliding window* hanya memproses  $W$  data *tuple* terakhir yang masuk. *Tuple*  $t$  hanya *hidup* selama masa hidupnya (*lifespan*)  $[r.t_{arr}, r.t_{exp}]$ ,  $r.t_{arr}$  adalah waktu datang dari *tuple* tersebut dan  $r.t_{exp}$  adalah waktu kadaluarsanya. Sebagai contoh, jika sensor mengirim data terus menerus dalam waktu 10 menit dan ukuran  $W = 5$  menit, maka *sliding window* hanya mengolah data yang tiba pada 5 menit terakhir.

Pada tugas akhir ini, *sliding window* digunakan untuk memproses *uncertain data streaming* yang ditampung pada *node*/persimpangan pada data spasial. Pemrosesan *uncertain data* pada *sliding window* ini menggunakan struktur data R-Tree agar pemrosesan semakin cepat.

## 2.6 Scala

Scala adalah bahasa pemrograman tingkat tinggi yang menggabungkan paradigma pemrograman berbasis objek dengan pemrograman fungsional. Scala adalah bahasa pemrograman berbasis objek karena setiap nilai adalah objek. Tipe dan *behaviour* dari objek didapat dari Class dan Trait. Class pada bahasa ini telah dikembangkan sehingga terdapat fitur *multiple inheritance*. Scala adalah bahasa pemrograman fungsional karena setiap fungsi adalah nilai. Sebagaimana bahasa fungsional lain, Scala memiliki mendukung fungsi anonim/*lambda*, *currying*, *higher-order function*, *nested function*, dan *pattern matching*.

Scala adalah bahasa yang *statically typed*. Bahasa ini dioperasikan pada Java Runtime Environment (JRE). Oleh karena itu, bahasa ini dapat langsung terintegrasi dengan Java. Meskipun *static-typing*, bahasa ini memiliki fitur *local type inference*. Dengan fitur tersebut, *programmer* tidak perlu menuliskan tipe data pada variabel [7].

Pada tugas akhir ini, Scala digunakan untuk mengimplementasikan struktur data dan algoritme. Bahasa ini juga digunakan untuk membuat layanan *webservice* yang berhubungan dengan peramban/*client* menggunakan kumpulan pustaka Akka.

## 2.7 JavaScript

JavaScript adalah bahasa pemrograman yang ringan dan *interpreted*. JavaScript adalah bahasa yang multiparadigma dan dinamis yang mendukung pemrograman berbasis objek, imperatif, dan deklaratif. JavaScript banyak digunakan pada peramban/*client-side*. Meskipun demikian, JavaScript juga banyak ditemukan pada aplikasi *server/server-side* menggunakan *Node.js* [9].

Pada tugas akhir ini, JavaScript digunakan sebagai bahasa pada *client-side* untuk proses simulasi dari implementasi algoritme yang diusulkan.

## **2.8 D3.js**

D3.js adalah pustaka pada lingkungan bahasa pemrograman JavaScript yang digunakan untuk memanipulasi data. D3 membantu pengguna untuk memvisualisasikan data yang diinginkan pada lingkungan peramban menggunakan HTML, SVG, dan CSS. D3 dilengkapi dengan berbagai fungsi untuk memanipulasi dan merepresentasikan data. D3.js digunakan untuk membuat banyak pustaka berbasis grafik pada peramban, seperti neo4jd3, plotly.js, dan billboard.js. Jaringan jalan raya juga dapat diimplementasikan dengan pustaka ini.

*Halaman ini sengaja dikosongkan*

## BAB III DESAIN

### 3.1 Daftar Istilah

Bab ini dan selanjutnya akan menggunakan istilah-istilah sebagai berikut:

Tabel 3.1 Simbol dan deskripsi pada bab ini

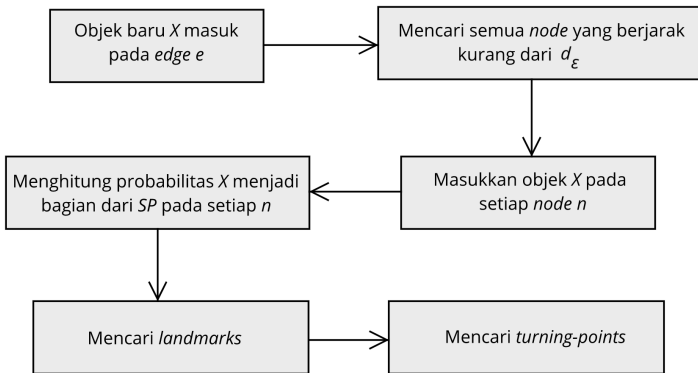
Simbol	Deskripsi
$d$	Dimensi data
$x[i]$	Nilai dari <i>tuple</i> $x$ pada dimensi ke- $i$
$X$	Objek <i>uncertain data</i> , $x \in X$
$U$	<i>Uncertain data streaming</i> , $X \in U$
$Y \prec x$	Objek $Y$ mendominasi <i>instance</i> $x$
$X \prec Y$	Objek $X$ mendominasi objek $Y$
$SP$	<i>Skyline Point</i> , himpunan objek yang menjadi <i>skyline</i>
$Pr(x)$	Probabilitas <i>tuple</i> $x$
$SkyPr(x)$	Probabilitas kejadian $x$ menjadi anggota dari <i>skyline</i>
$L$	<i>Landmark</i>

### 3.2 Pengantar

Tugas akhir ini mengusulkan metode *Continuous Streaming distance-based Skyline Query* ( $CSd_\epsilon - SQ$ ). Pencarian titik *skyline* pada jaringan jalan raya menggunakan algoritme  $Cd_\epsilon - SQ$ [1]. Untuk mencari *skyline point*,  $SP$  dari suatu titik *query*, komputasi dilakukan untuk mencari semua objek yang memiliki jarak kurang dari sama dengan  $d_\epsilon$  dari titik *query* tersebut. Dari objek-objek tersebut, metode ini mencari objek-objek yang tidak didominasi

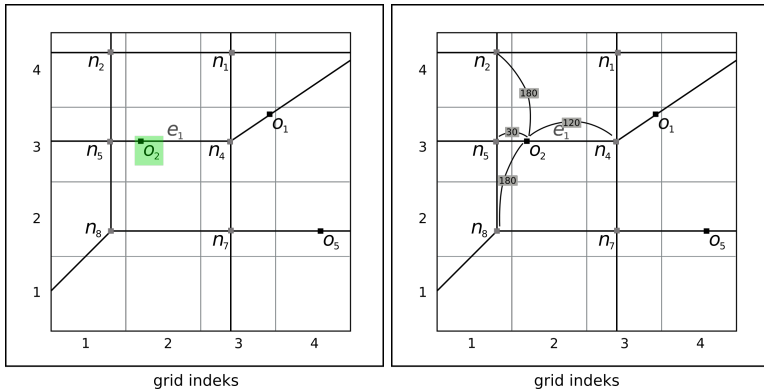
oleh objek lain, objek-objek tersebut dinamai *GSP* (*Global Skyline Points*).

Untuk menentukan *GSP* pada *uncertain data streaming*, algoritme yang digunakan adalah algoritme EPSU[2]. Tugas akhir ini menggunakan struktur data grid indeks agar algoritme hanya memproses data yang dibutuhkan saja. Agar pemrosesan *uncertain data* dapat dilakukan secara efisien, tugas akhir ini menggunakan struktur data R-Tree dan disimpan pada setiap *node*.



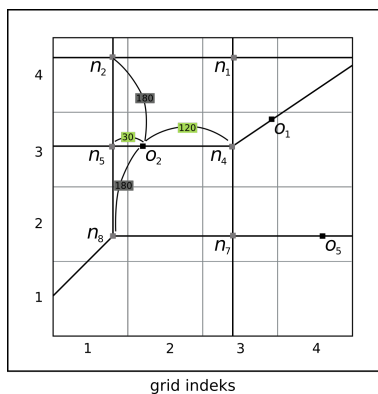
Gambar 3.1 Alur pemrosesan

Perhatikan Gambar 3.1 dan Gambar 3.2, saat objek  $X$  yang masuk dari *stream* pada suatu *edge* yang terdapat pada struktur Grid, algoritme BFS mencari semua *node* yang berjarak kurang dari  $d_\epsilon$  dari objek  $X$ ,  $d_{X,n} \leq d_\epsilon$ .



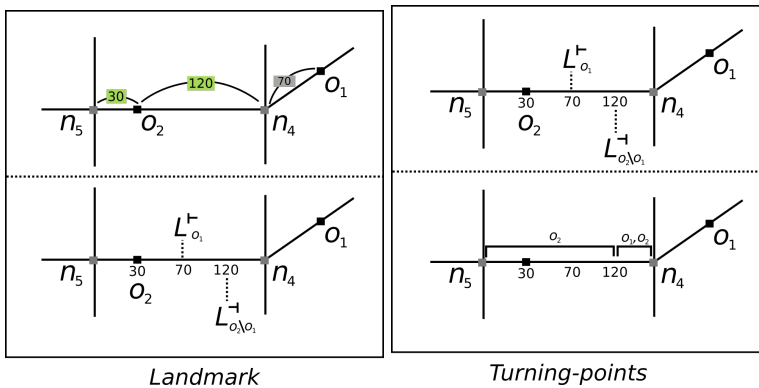
Gambar 3.2 Objek masuk pada grid indeks

Kemudian objek  $X$  dimasukkan pada struktur data R-Tree yang terdapat pada masing-masing *node* menggunakan algoritme *Insertion*. Setiap objek  $X$  bertahan pada Grid hanya dalam interval waktu yang sama  $t$ . Jika objek  $X$  sudah kadaluarsa, objek dikeluarkan dari *node* dengan algoritme *Deletion*.



Gambar 3.3 Dengan  $d_\epsilon=150$ ,  $o_2$  hanya masuk pada *node*  $n_4$  dan  $n_5$

Setelah objek masuk pada semua *node*  $n$   $d_{X,n} \leq d_\varepsilon$ , proses pencarian *landmark* dilakukan sebagai dasar pencarian *turning-point*. Masukan dari proses pencarian *Landmark* yaitu *GSP*. *GSP* adalah objek-objek yang menjadi  $SP^\varepsilon$  yang terdapat pada  $n_s$  dan  $n_e$  dan objek-objek yang terdapat pada *edge*  $e$ . Terakhir, penentuan *turning-point* dilakukan pada setiap *edge* yang berhubungan dengan  $n$ . Hasil akhir dari proses ini adalah *turning-point*.



Gambar 3.4 Kiri: *landmark* yang didapat dari *edge*. Kanan: *turning-point* didapat dari *landmark*

Suatu *edge*  $e$  pada jaringan jalan raya memiliki dua ujung *node*, yaitu *node* ujung awal  $n_s$  dan *node* ujung akhir  $n_e$ . Setiap *node* memiliki objek dan terhubung dengan *edge*. Dari proses *Skyline edge*  $e$  direpresentasikan dalam bentuk interval beserta *SP* yang terdapat pada masing-masing interval. Antara interval satu dengan interval lain terdapat pergantian objek yang menjadi *SP*. Titik pergantian *SP* ini diistilahkan dengan *turning-point*.



### 3.3 Struktur Data

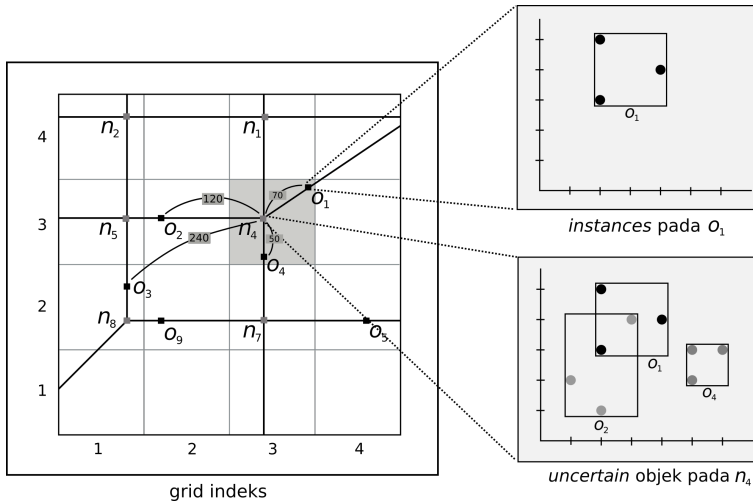
Jaringan jalan raya menggunakan jalan dan persimpangan sebagai objek utamanya. Hal tersebut dapat tersebut dapat dimodelkan dengan *undirected weighted graph* yang terdiri dari *node* dan *edge*. *Node* sebagai persimpangan dan *edge* sebagai jalan. Struktur ini efisien untuk pencarian data pada peta.

Struktur graf sederhana menjadi sangat berat untuk diolah apabila terdapat terlalu banyak *node*, *edge*, dan objek di dalamnya. Penulis menggunakan struktur data grid indeks pemrosesan data. **Grid indeks** adalah struktur graf yang terbagi-bagi menjadi kotak-kotak dengan ukuran  $N \times N$ . Setiap *edge* dan *node* menempati grid pada indeks  $m$  dan  $n$ .

Struktur grid menampung tiga tabel, yaitu tabel objek, *node*, dan *edge*. Perhatikan tabel objek pada Tabel 3.2, setiap objek koordinat  $x$ ,  $y$ , dan *instances*. Atribut *instances* berisi *tuple-tuple* kejadian/titik dari objek. Dalam model matematis, setiap objek  $X$  memiliki *tuple-tuple*  $x$ ,  $x \in X$ . Setiap tuple memiliki probabilitas yang dinotasikan dengan  $Pr(x)$ . Jumlah probabilitas pada semua *tuple* adalah 1, artinya  $\sum_{x \in X} Pr(x) = 1$ . Sebagai contoh, beberapa *instance* di satu objek pada bidang 2 dimensi dapat ditulis dengan  $[(4, 5, 0.1), (5, 6, 0.5), (5, 7, 0.4)]$ .

Tabel 3.2 Atribut dari objek

Atribut	Deskripsi
<i>id</i>	ID objek
<i>x</i>	Koordinat X
<i>y</i>	Koordinat Y
<i>e</i>	Edge tempat objek berada
<i>instances</i>	Semua instance dari objek



Gambar 3.5 Struktur data grid indeks

Perhatikan struktur tabel *node* pada Tabel 3.3. Setiap *node* yang terdapat pada grid menyimpan koordinat  $x$ , koordinat  $y$ , struktur R-Tree *SW-Tree*. Struktur R-Tree digunakan untuk menyimpan dan mengolah objek-objek *uncertain data* secara efisien. *SW-Tree* hanya menampung objek-objek yang berjarak kurang dari sama dengan  $d_\epsilon$ . Jarak yang dimaksud adalah total panjang *edge*/jalan dari *node* menuju objek. Pada dasarnya, *SW-Tree* adalah struktur data R-Tree yang dimodifikasi agar dapat memproses *uncertain data* dalam bentuk *SW(sliding-window)*. Terakhir, objek yang disimpan pada setiap *node* tersebut diberi informasi tambahan (*metadata*) agar algoritme tidak melakukan proses yang sama berulang-ulang.

Tabel 3.3 Atribut dari *node*

Atribut	Deskripsi
<i>id</i>	ID <i>node</i>
<i>x</i>	Koordinat X
<i>y</i>	Koordinat Y
<i>SW-Tree</i>	Struktur RTree untuk menyimpan dan mengolah <i>uncertain data</i>
<i>M</i>	Tabel <i>metadata</i> dari objek-objek yang disimpan

Perhatikan tabel *edge* pada Tabel 3.5. Tabel *edge* menyimpan  $n_i$  sebagai ID dari salah satu node,  $n_j$  sebagai ID dari *node* lainnya, *len* sebagai panjang *edge* tersebut, dan *objects*. Atribut *objects* pada *edge* adalah semua objek yang berada pada *edge* tersebut.

Tabel 3.4 Atribut dari *metadata* dari objek pada node  $n$ 

Atribut	Deskripsi
<i>id</i>	ID dari objek
<i>d</i>	Jarak objek dari <i>node</i> $n$
<i>skyProb</i>	Probabilitas objek menjadi bagian dari <i>SP</i>
<i>isImpossible</i>	Tanda jika objek tidak dapat menjadi bagian dari <i>SP</i>

Tabel 3.5 Atribut dari *edge*

Atribut	Deskripsi
<i>id</i>	ID <i>edge</i>
<i>n<sub>i</sub></i>	ID <i>node</i> salah satu ujung
<i>n<sub>j</sub></i>	ID <i>node</i> ujung yang lain
<i>len</i>	Panjang <i>edge</i>
<i>objects</i>	Kandidat <i>skyline point</i> , yaitu semua objek yang berada pada <i>edge</i> tersebut

Tabel 3.4 menyimpan data yang melekat pada objek ketika objek sudah masuk pada *edge e*. Tabel tersebut menyimpan jarak *d*, yaitu jarak antara *node* dengan objek. Dengan adanya *d*, algoritme yang diusulkan tidak menggunakan komputasi *shortest-path*. *skyProb* menyimpan probabilitas objek menjadi bagian dari *SP* dan *skyProb* bernilai  $0 \leq \text{skyProb} \leq 1$ . Terakhir, *isImpossible* adalah *flag* yang menjadi tanda apabila objek tidak lagi dapat menjadi bagian dari *SP*.

### 3.4 Probabilitas *Skyline* pada *Uncertain Data*

Sub-bagian ini menjabarkan mengenai proses penghitungan Probabilitas *Skyline* dari suatu objek. Bidang *d* dimensi memiliki dataset *U*. Data set *U* memiliki objek *uncertain data X* sedemikian hingga  $X \in U$ . Setiap objek *X* memiliki *instances x*,  $x \in X$ . Jika objek *X* digambarkan pada bidang *d* dimensi, maka sebuah *minimum bounding rectangle*,  $MBR(X)$  secara tepat menampung semua *instance* dari *X*.  $X_{min}$  dan  $X_{max}$  adalah titik pojok terkecil dan terbesar dari *X* dengan ketentuan  $X_{min} = \min_{x \in X} x[i]$  dan  $X_{max} = \max_{x \in X} x[i]$ ,  $i = 1, \dots, d$ . Gambar 3.6 menampilkan tiga objek *uncertain data* pada bidang dua dimensi beserta masing-masing *MBR*-nya.

Semua *instance/tuple* dari objek *uncertain data X* memiliki

probabilitas  $Pr(x)$ , dengan ketentuan  $\sum_{x \in X} Pr(x) = 1$ . Jika terdapat objek *uncertain data* yang lain  $Y$ , maka probabilitas  $Y$  mendominasi  $x$  adalah  $Pr[Y \prec x] = \sum_{y \in Y, y \prec x} Pr(y)$ . Demikian sebaliknya, probabilitas  $Y$  tidak mendominasi  $x$  adalah  $Pr[Y \not\prec x] = \sum_{y \in Y, y \not\prec x} Pr(y)$ . Untuk *instance*  $x \in X$ ,  $SkyPr(x)$  adalah probabilitas dari *instance*  $x$  yang menjadi komponen untuk objek  $X$  agar objek  $X$  menjadi bagian dari *skyline*. Dalam kasus ini, probabilitas skyline dari  $x$  adalah hasil dari semua objek  $Y$  pada  $U$  yang tidak mendominasi  $x$ ,  $SkyPr(x) = \prod_{Y \in U, Y \not\prec x} Pr[Y \not\prec x]$ . Dengan demikian, probabilitas objek  $X$  menjadi bagian dari skyline adalah  $SkyPr(X) = \sum_{x \in X} Pr(x) * SkyPr(x)$  [2].

Sebagai contoh, perhatikan Gambar 3.6. Untuk menghitung  $SkyPr(Z)$ , kita perlu menghitung  $SkyPr(z_1)$ ,  $SkyPr(z_2)$ , dan  $SkyPr(z_3)$  terlebih dahulu. Pada kasus ini, objek lebih dominan apabila nilai  $x$  dan  $y$  lebih kecil. Penulis akan menjabarkan penghitungan  $SkyPr(z_1)$ .  $SkyPr(z_2)$  dan  $SkyPr(z_3)$  dapat dicari dengan cara yang sama. Titik  $z_1$  didominasi oleh  $x_2$ ,  $x_3$ , dan  $y_3$ , sehingga  $Pr[Y \prec z_1]$  dan  $Pr[X \prec z_1]$  perlu dihitung.  $Pr[X \prec z_1] = Pr[x_2 \prec z_1] + Pr[x_3 \prec z_1] = 0.2 + 0.3 = 0.5$  dan  $Pr[Y \prec z_1] = Pr[y_3 \prec z_1] = 0.3$ . Maka  $SkyPr(z_1) = Pr[X \not\prec z_1] \times Pr[Y \not\prec z_1] = (1 - Pr[X \prec z_1]) \times Pr[Y \not\prec z_1] = 1 - 0.5 * 0.3 = 0.85$ . Dengan metode penghitungan yang sama untuk  $z_2$  dan  $z_3$ , maka  $SkyPr(Z) = 0.85 \times 0.1 + 0.85 \times 0.4 + 0.5 \times 0.5 = 0.675$ .

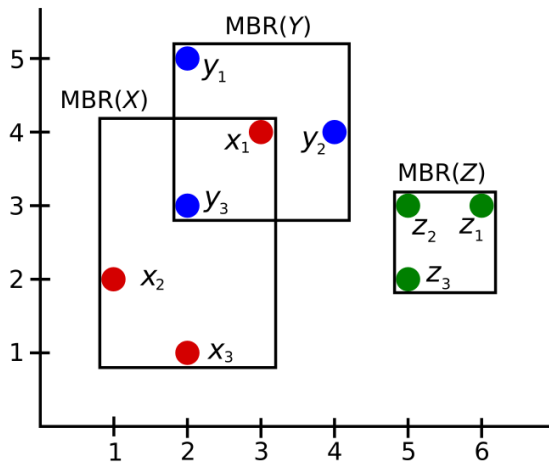
### 3.5 Pemrosesan *Uncertain Data Streaming*

Tugas akhir ini menggunakan metode EPSU [2] untuk menentukan *skyline*. *Uncertain data streaming* didefinisikan sebagai data yang terus menerus muncul dan akan kadaluarsa dalam periode tertentu. Setiap data yang masuk memiliki *timestamp* yang menunjukkan waktu data tersebut masuk dalam sistem.

Pemrosesan *uncertain data streaming* pada tugas akhir

Tabel 3.6 Contoh *uncertain data* beserta probabilitas *skyline*-nya

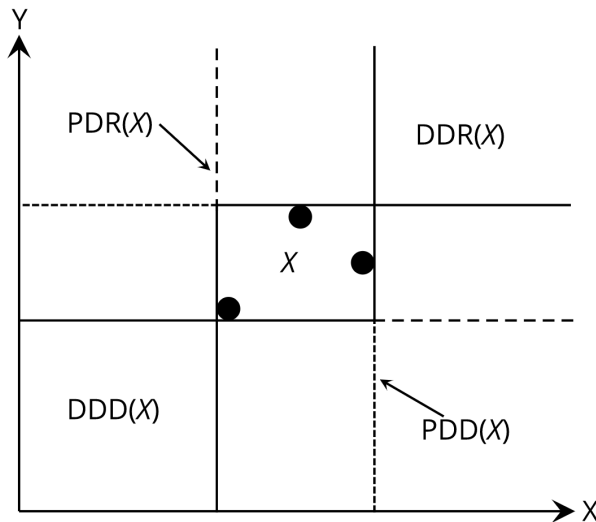
Objek	Instance	$Pr()$	$SkyPr()$	$SkyPr(object)$
X	$x_1(3, 4)$	0.5	0.7	0.85
	$x_2(1, 2)$	0.2	1	
	$x_3(2, 1)$	0.3	1	
Y	$y_1(2, 5)$	0.4	0.5	0.35
	$y_2(4, 4)$	0.3	0	
	$y_3(2, 3)$	0.3	0.5	
Z	$z_1(6, 3)$	0.1	0.85	0.675
	$z_2(5, 3)$	0.4	0.85	
	$z_3(5, 2)$	0.5	0.5	

Gambar 3.6  $X_1$ ,  $X_2$ , dan  $X_3$  beserta masing-masing MBR

ini menggunakan *sliding-window*,  $SW$ .  $SW$  memiliki ukuran  $|W|$ , artinya  $SW$  ini dapat menampung objek sejumlah  $|W|$ . EPSU menggabungkan struktur data R-Tree dan *sliding-window*,

*SW-Tree*. R-Tree digunakan karena struktur data ini efisien dalam pencarian data spasial menggunakan MBR (*Minimum Bounding Rectangle*). *Threshold p* juga perlu didefinisikan untuk proses *pruning* dan untuk menjadi acuan dari dominasi objek satu dengan objek lainnya.

EPSU menggunakan MBR untuk mengurangi komputasi yang berulang-ulang pada setiap instance dari objek *uncertain data*. Terdapat empat regional yang dimiliki setiap objek *uncertain data X*:



Gambar 3.7 Empat area pada bidang 2 dimensi

1. *Definitely Dominating Region X*,  $DDR(X)$ , yaitu area yang didominasi penuh oleh  $X$ . Objek yang terdapat pada area ini tidak perlu dibandingkan dengan *instance* dari  $X$ . Objek  $Y$  yang terdapat pada  $DDR(X)$  berarti  $Y$  didominasi oleh  $X$  dan  $Y$  tidak dapat menjadi bagian dari  $SP$ .
2. *Probably Dominating Region X*,  $PDR(X)$ , yaitu area yang

berkemungkinan dinominasi oleh  $X$ . Untuk mendapatkan probabilitas *skyline*, *instance* yang terdapat pada area ini perlu dibandingkan dengan *instance* yang terdapat pada  $X$ .

3. *Definitely DominateD X*,  $DDD(X)$ , yaitu area yang mendominasi  $X$  secara penuh. Objek  $Y$  yang terdapat pada  $DDR(X)$  berarti  $X$  didominasi oleh  $Y$  dan  $X$  tidak dapat menjadi bagian dari  $SP$ .
4. *Probably DominateD X*,  $PDD(X)$ , adalah area yang mungkin mendominasi  $X$ .

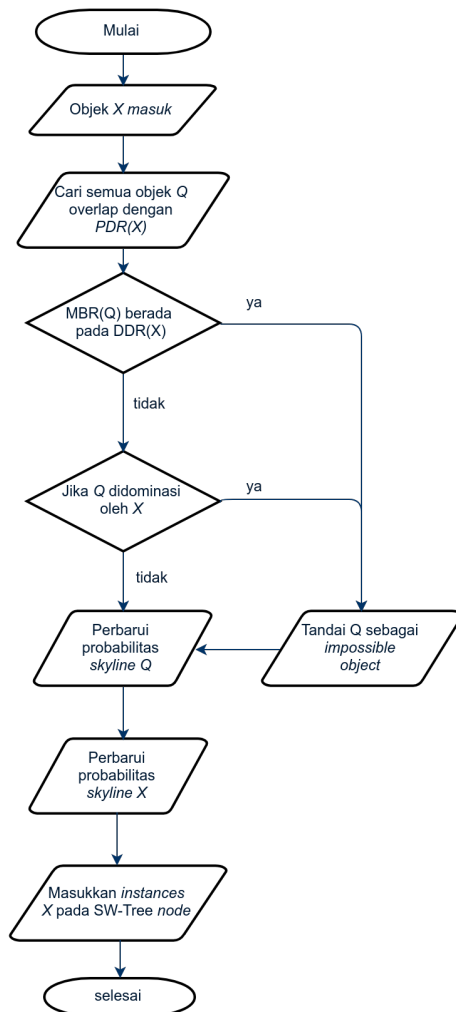
Jika  $S_{max}$  dan  $S_{min}$  adalah titik maksimal dan minimal pada bidang  $d$  dimensi, maka  $DDR(X)$ ,  $PDR(X)$ ,  $DDD(X)$ , dan  $PDD(X)$  adalah  $[X_{max}, S_{max}]$ ,  $[X_{min}, S_{max}]$ ,  $[S_{min}, X_{min}]$ , dan  $[S_{min}, X_{max}]$ . Perhatikan Gambar 3.7.

Pada tugas akhir ini, terdapat dua proses yang terjadi pada *sliding window*, yaitu *Insertion* dan *Deletion*.

### 3.6 Proses *Insertion*

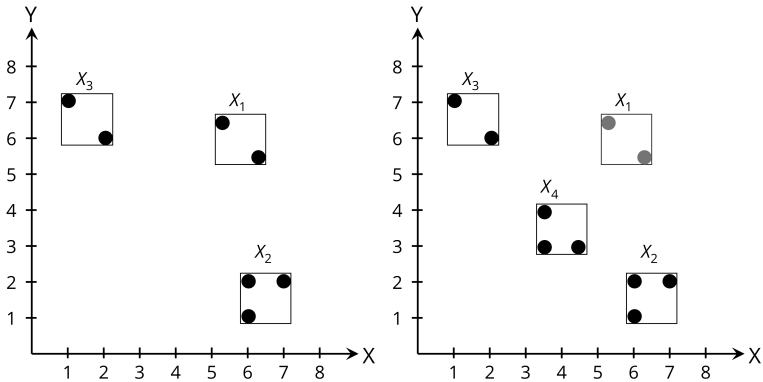
Proses *Insertion* yaitu proses masuknya objek *uncertain* pada *SW-Tree*. Hasil dari proses ini yaitu berupa *node* yang telah diperbarui. Perbaruan yang dilakukan adalah penambahan objek pada *SW-Tree* dan pembaruan probabilitas *skyline* dari objek-objek yang terkena pengaruh. Objek yang terkena pengaruh dari masuknya objek *uncertain X* adalah objek-objek yang *overlap* dengan  $PDR(X)$ .





Gambar 3.8 Alur objek masuk pada *node*

Perhatikan Gambar 3.9, pada gambar sisi kiri, objek  $X_1$ ,  $X_2$ , dan  $X_3$  masing-masing memiliki probabilitas menjadi bagian dari

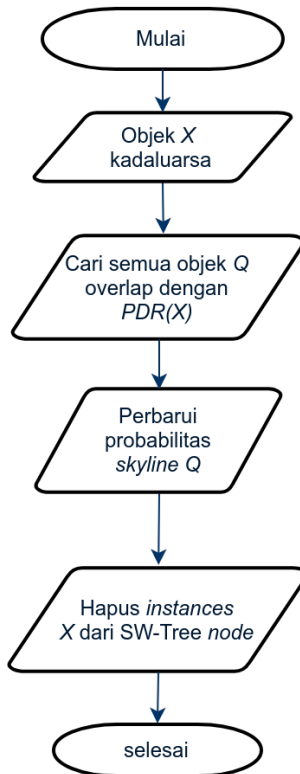


Gambar 3.9 Objek  $X_4$  masuk ke SW-Tree, objek  $X_1$  ditandai sebagai objek *impossible*.

*skyline*. Ketika objek  $X_4$  masuk, objek  $X_1$  dinyatakan sebagai objek *impossible*.

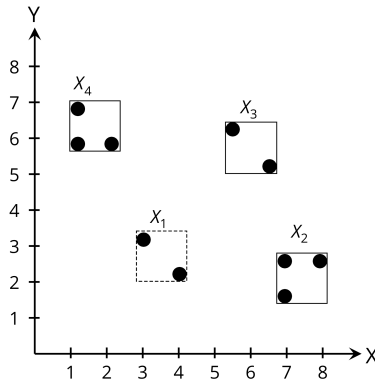
### 3.7 Proses *Deletion*

Proses *Deletion* adalah proses keluarnya objek dari *SW-Tree* karena objek telah mencapai waktu kadaluarsanya. Objek lama yang perlu dikomputasi ulang yaitu objek yang memiliki *MBR* yang *overlap* dengan  $PDR(X)$ . Ketika objek  $X$  dihapus, penghitungan probabilitas *skyline* hanya dilakukan pada objek yang tidak ditandai.



Gambar 3.10 Alur proses *Deletion*

Perhatikan Gambar 3.11, ketika objek  $X_1$  kadaluarsa dan keluar dari *SW-Tree*, objek yang *overlap* dengan  $PDR(X_1)$  (objek  $X_2$  dan  $X_3$ ) perlu dikomputasi ulang probabilitas *skyline*-nya. Objek  $X_4$  tidak dikomputasi ulang karena tidak *overlap*.

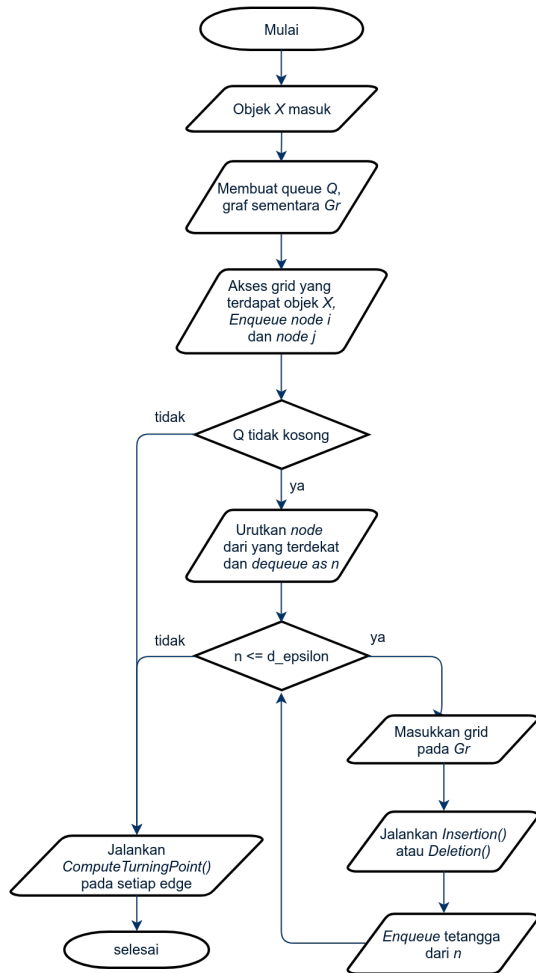


Gambar 3.11 Objek  $X_1$  kadaluarsa dan keluar dari SW-Tree

### 3.8 Penentuan *GSP(Global Skyline Points)*

Setiap *edge*  $e$  pada graf memiliki dua ujung berupa *node*, yaitu  $n_s$  dan  $n_e$ .  $GSP_e$  adalah semua objek yang menjadi bagian dari  $SP$  pada *edge*  $e$ . Objek-objek yang menjadi bagian dari  $GSP_e$  adalah objek yang berada pada *edge*  $e(S_e)$ , objek yang menjadi  $SP$  pada  $n_s(SP_{n_s})$ , dan objek yang menjadi  $SP$  pada  $n_e(SP_{n_e})$ .

$SP_{n_s}$  (dan  $SP_{n_e}$ ) adalah  $SP$  dari semua objek yang berjarak kurang dari  $d_\varepsilon$  dari  $n_s$  (dan  $n_e$ ). Setiap objek pada  $n_s$  (dan  $n_e$ ) memiliki probabilitas untuk menjadi bagian dari  $SP$ , namun hanya objek yang tidak didominasi saja yang dapat menjadi bagian dari  $SP$ . Dominasi ini dapat dilihat dari dua jenis atribut, yaitu atribut statis (*uncertain data*) dan atribut dinamis (jarak) sebagaimana yang telah dijelaskan pada sub-bab 3.6. Secara matematis,  $GSP$  pada *edge*  $e$  adalah gabungan dari kandidat *skyline point* yang terdapat pada  $n_s$ ,  $n_e$ , dan *edge*  $e$  itu sendiri,  $SP_p^\varepsilon = SP_{n_s} \cup SP_{n_e} \cup SP_e$ .



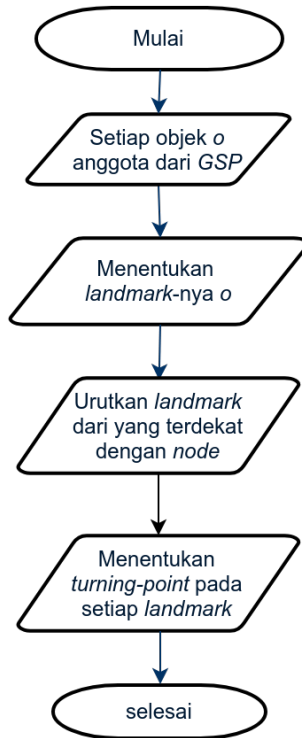
Gambar 3.12 Alur pencarian GSP

Dalam hal ini, objek bersifat dinamis dan *node* bersifat statis. Maksudnya, objek setiap waktu dapat masuk dan keluar dalam interval tertentu dan *node* tidak dapat berpindah. Ketika objek

masuk ke *Grid* pada waktu  $t$ , objek dimasukkan pada struktur RTree yang terdapat pada *node* yang berjarak kurang dari sama dengan  $d_\epsilon$ . Pencarian  $SP_n^\epsilon$  dilakukan ketika objek masuk dan keluar/kadaluarsa pada *node*  $n$ .

### 3.9 Proses *Compute Turning Point*

Proses *Compute Turning Point* dilakukan ketika semua objek telah masuk pada *node*  $n$  dengan  $d_{n,X} \leq d_\epsilon$ . Objek yang ditandai sebagai *impossible* tidak dilakukan penghitungan probabilitas *skyline*.



Gambar 3.13 Alur pencarian *turning-point*

Langkah pertama dalam menentukan *skyline* adalah penentuan *landmark*. *Landmark* adalah area yang dimiliki objek sehingga objek memungkinkan menjadi bagian dari *SP* di area tersebut. Hanya anggota dari *GSP* yang dipakai untuk menentukan *landmark-landmark* berikut. Algoritma ini mencari empat *landmark* yang didefinisikan sebagai berikut:

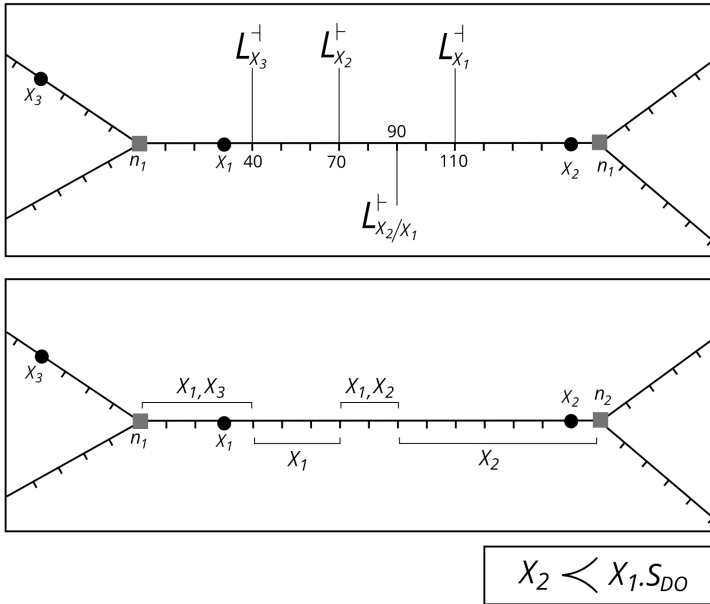
1.  $L_o^+$ : Asumsikan titik *query*  $q$  bergerak di edge  $e$  dari arah  $n_s$  menuju  $n_e$  dan jarak  $d_{q,o}$  antara objek  $o$  dan titik *query*  $q$  lebih besar daripada  $d_e$  serta titik *query*  $q$  bergerak menuju objek  $o$ .  $L_o^+$  adalah titik *landmark* yang terdapat pada edge  $e$  dan berjarak sejauh  $d_e$  dari objek  $o$ . Objek  $o$  menjadi bagian dari  $d_e - SP$  ketika melewati *landmark* ini.
2.  $L_o^-$ : Asumsikan titik *query*  $q$  bergerak menjauhi objek  $o$  menuju  $n_e$ . *Landmark*  $L_o^-$  adalah titik ketika jarak  $d_{q,o}$  sama dengan  $d_e$  dan titik ini berada pada edge  $e$ . Objek  $o$  tidak lagi dapat menjadi bagian dari  $d_e - SP$  setelah melewati *landmark* ini.
3.  $L_{o \setminus o'}^+$ : Asumsikan objek  $o$  mendominasi objek lain,  $o'$  dalam hal atribut statis (*uncertain data*). *Landmark* ini berada pada titik *query*  $q$  ketika  $d_{q,o} = d_{q,o'}$ . Dengan *landmark* ini, ketika titik *query*  $q$  berada di sisi kiri dari *landmark* ini, objek  $o$  tidak dapat mendominasi objek  $o'$  dalam hal atribut dinamis (jarak  $d_{q,o'} < d_{q,o}$ ). Ketika titik *query*  $q$  berada di sisi kanan *landmark*, objek  $o$  mendominasi objek  $o'$ , baik dari sisi atribut dinamis (jarak) ataupun statis (*uncertain data*).
4.  $L_{o \setminus o'}^-$ : Asumsikan objek  $o$  mendominasi objek lain,  $o'$  dalam hal atribut statis (*uncertain data*). Sebelum titik *query*  $q$  mencapai *landmark* ini, objek  $o$  dapat mendominasi  $o'$  dalam hal atribut statis dan dinamis. Ketika titik *query*  $q$  melewati *landmark* ini, objek  $o$  tidak dapat mendominasi objek  $o'$  karena  $d_{d,o'} < d_{d,o}$ .

Penentuan *turning-point* dilakukan pada *landmark* yang

lebih dekat dengan  $n_s$  terlebih dahulu. Berikut metode pencarian *turning-point* berdasarkan *landmark* yang sudah ada.

1. Dalam pemrosesan *landmark*  $L_o^+$ , jika *landmark*  $L_{o' \setminus o}^+$  terdapat pada *queue*  $Q$ , maka  $L_o^+$  tidak menjadi *turning-point*. Hal tersebut dikarenakan, meskipun titik *query*  $q$  berada di  $[L_o^+, L_{o' \setminus o}^+]$  sehingga  $d_{q,o} < d_\varepsilon$ , objek  $o$  masih didominasi  $o'$  hingga mencapai  $L_{o' \setminus o}^+$ . Jika tidak terdapat  $L_{o' \setminus o}^+$ , maka  $L_o^+$  dapat menjadi *turning-point*.
2. *Landmark*  $L_o^+$  menjadi *turning-point* apabila titik *query*  $q$  berada di kiri  $L_o^+$  dan objek  $o$  menjadi  $d_\varepsilon - SP$ . Ketika  $q$  melewati  $L_o^+$ ,  $d_{q,o}$  menjadi lebih besar dibandingkan  $d_\varepsilon$  sehingga objek  $o$  dikeluarkan dari  $d_\varepsilon - SP$ . Dengan demikian,  $L_o^+$  menjadi *turning-point*.
3. *Landmark*  $L_{o \setminus o'}^+$  menjadi *turning-point* dengan kondisi berikut: ketika titik *query*  $q$  mencapai  $L_{o \setminus o'}^+$ , objek  $o$  akan mendominasi  $o'$  dalam hal atribut statis maupun dinamis. Jika saat tersebut kedua objek sedang menjadi bagian dari  $d_\varepsilon - SP$ , objek  $o'$  tidak lagi menjadi bagian dari  $d_\varepsilon - SP$  setelah melewati  $L_{o \setminus o'}^+$ .
4. *Landmark*  $L_{o \setminus o'}^+$  menjadi *turning-point* dengan kondisi berikut: *landmark*  $L_{o \setminus o'}^+$  berarti objek  $o$  tidak dapat mendominasi objek  $o'$  setelah titik *query*  $q$  mencapai  $L_{o \setminus o'}^+$ . Jika objek  $o$  ketika itu menjadi bagian dari  $d_\varepsilon - SP$  dan tidak ada *landmark*  $L_{o' \setminus o}^+$  yang terdapat pada  $Q$ , maka objek  $o'$  dapat menjadi bagian dari  $d_\varepsilon - SP$  setelah  $q$  melewati  $L_{o \setminus o'}^+$ . Dengan demikian,  $L_{o \setminus o'}^+$  menghasilkan *turning-point*.





Gambar 3.14 Contoh penentuan *landmark* dan *turning-point*

Perhatikan Gambar 3.14, terdapat 3 objek  $X_1$ ,  $X_2$ , dan  $X_3$ . Objek  $X_2$  mendominasi  $X_1$  dalam hal atribut statis (*uncertain data*). Pada titik *node*  $n_1$ , nilai awal  $SP^\varepsilon$  adalah  $SP_{n_s}$ , yaitu  $X_1, X_3$ . Berikut penjelasan masing-masing *landmark* yang terdapat pada Gambar 3.14:

1. *Landmark*  $L_{X_3}^-$ : Karena  $d_{X_3,q} > d_\varepsilon$ , objek  $X_3$  dikeluarkan dari  $SP^\varepsilon$ . Sehingga *landmark*  $L_{X_3}^-$  menjadi *turning-point* dan  $SP^\varepsilon$  berganti dari  $\{X_1, X_3\}$  menjadi  $\{X_1\}$ .
2. *Landmark*  $L_{X_2}^-$ : Karena  $d_{X_2,q} < d_\varepsilon$ , objek  $X_2$  menjadi bagian dari  $SP^\varepsilon$ . Objek  $X_2$  tidak dapat mendominasi objek  $X_1$  karena  $d_{X_1,q} < d_{X_2,q}$ . Dengan demikian, *landmark*  $L_{X_2}^-$  menjadi *turning-point* dan  $SP^\varepsilon$  berganti dari  $\{X_1\}$  menjadi

- $\{X_1, X_2\}$ .
3. *Landmark*  $L_{X_2 \setminus X_1}^+$ : Pada titik ini, objek  $X_2$  mulai mendominasi  $X_1$  karena  $d_{X_1, q} > d_{X_2, q}$ . Dengan demikian, objek  $X_1$  keluar dari  $SP^\varepsilon$ . *Landmark*  $L_{X_2 \setminus X_1}^+$  menjadi *turning-point* dan  $SP^\varepsilon$  berubah dari  $\{X_1, X_2\}$  menjadi  $\{X_2\}$ .
  4. *Landmark*  $L_{X_1}^-$ : Karena objek  $X_1$  tidak menjadi bagian dari  $SP^\varepsilon$ , maka *landmark* ini tidak dapat menjadi *turning-point* dan  $SP^\varepsilon$  tetap berisi  $\{X_2\}$ .

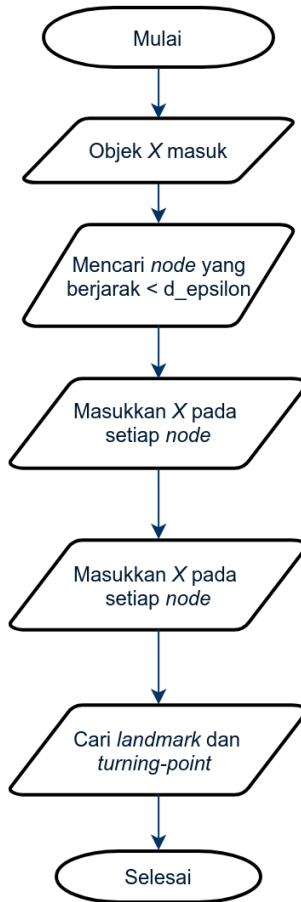
### 3.10 Algoritme Naive

Algoritme *naive* dibuat untuk membandingkan dengan algoritme  $CSd_\varepsilon$ . Algoritme ini tidak serta merta menggunakan metode *brute-force* dan tetap menggunakan algoritma yang lebih efisien seperti algoritme Dijkstra.

Metode ini menyimpan data *edge*, *node*, dan objek dalam bentuk *array* dan tidak menggunakan struktur data grid indeks. Metode ini juga menggunakan *array* untuk menyimpan objek yang terdapat pada *node*.

Objek  $X$  masuk pada *edge* dan mencari *node* yang berjarak kurang dari  $d_\varepsilon$ . Pencarian *node* dilakukan dengan cara mencari jarak terdekat antara objek dengan semua *node* yang ada pada graf. Penentuan jarak antara objek dengan *node* menggunakan algoritma Dijkstra. Setelah itu, *node* yang dimasuki objek yaitu *node* yang berjarak kurang dari sama dengan  $d_\varepsilon$ .

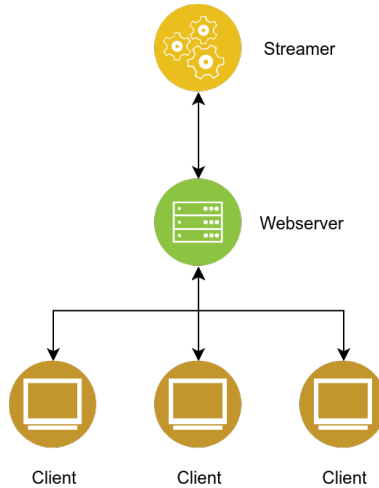
Objek yang masuk pada *node* disimpan pada *array*. Proses penghitungan *skyline* dilakukan dengan cara membandingkan objek satu dengan semua objek yang lain. Hal ini berbeda dengan algoritme  $CSd_\varepsilon$  yang hanya membandingkan objek dengan objek yang berada pada area tertentu saja.



Gambar 3.15 Alur metode *naive*

Langkah selanjutnya, untuk menentukan *landmark* dan *turning-point*, algoritme yang digunakan pada metode *Naive* sama dengan algoritme yang digunakan pada metode  $CSd_{\epsilon}$ .

### 3.11 Perancangan Arsitektur Implementasi



Gambar 3.16 Arsitektur implementasi

Proses implementasi algoritma ini menggunakan antarmuka pengguna grafis dengan peramban. Terdapat tiga entitas, yaitu:

1. Streamer: Entitas ini digunakan sebagai pemrosesan data utama. Algoritma yang diusulkan pada tugas akhir ini diimplementasikan pada entitas ini. Implementasi bagian ini menggunakan bahasa Scala.
2. Client: Entitas ini digunakan untuk menampilkan antarmuka pengguna grafis menggunakan peramban dengan bahasa JavaScript. D3.js digunakan untuk merepresentasikan objek, *node*, dan *edge* dalam bentuk gambar.
3. Webserver: Entitas ini digunakan sebagai penghubung antara Streamer dengan Client. Entitas ini mendapatkan data dari Streamer. Data dikumpulkan dan dikonversi agar Client dapat

menerima data siap pakai.

Streamer hanya mengirimkan data kepada Webservice. Webservice menerima dan memproses data. Pemrosesan yang dilakukan berupa mengganti *turning-point* lama dengan yang terbaru. Client meminta data *turning-point* serta objek yang terdapat pada grid indeks secara kontinu dalam interval tertentu kepada Webservice. Data yang dikirim dari Webservice menuju Client berupa struktur *turning-point*.

*Halaman ini sengaja dikosongkan*

## BAB IV IMPLEMENTASI

### 4.1 Pengantar

Bab ini memaparkan metode yang diusulkan pada Bab 3 dalam bentuk *pseudocode*.

### 4.2 Implementasi Menentukan *GSP*

Metode ini menggunakan algoritme *Breadth First Search* untuk *traversing* pada graf. *Queue*  $Q$  digunakan untuk menyimpan antrian yang berisi *node*  $n$  beserta jarak  $n$  terhadap  $X$  ( $d_{X,n}$ ). Untuk mengurangi komputasi yang berlebih dalam pencarian *node*, struktur graf sementara  $Gr$  dibuat untuk menampung data yang dibutuhkan. Setiap *node* yang dikenali dimasukkan kedalam *queue*  $Q$ . Proses *sorting* berdasarkan jarak dilakukan pada  $Q$  sebelum proses *dequeue*. Hanya objek yang berjarak kurang dari sama dengan  $d_\epsilon$  saja yang diproses. Pemrosesan yang dilakukan tergantung dari jenis objek, jika objek baru maka dijalankan *Insertion()* pada *node*  $n$ , jika objek kadaluarsa maka dijalankan *Deletion()*. Perlu diketahui bahwa, proses pencarian  $SP_{n_s}$  (atau  $SP_{n_e}$ ) hanya dilakukan pada *Insertion()* dan *Deletion()*. Setelah semua *node*  $d_{X,n} < d_\epsilon$  diperbarui, *GSP* dicari dari setiap *edge* yang memiliki *node* yang diperbarui dan dilanjutkan dengan pencarian *turning-point* dari *GSP* tersebut.

---

**Algorithm 1** DetermineGSP
 

---

```

1: Input: grid index  $G$ , a distance  $d_\epsilon$ , uncertain data object  $X$ ,
   action(insertion/deletion)
2: Output: an updated grid index  $G$ 
3: create empty queue  $Q$ 
4: create temporary graph  $Gr$ 
5: access edge  $e$  enclosing  $X$  and enqueue  $n_i$  and  $n_j$ 
6: enqueue  $n_i$  and  $n_j$  with each distance
7: while  $Q$  is not empty do
8:   sort  $Q$  by distance from  $X$ 
9:   dequeue  $Q$  as  $n$ 
10:  if  $d_{n,X} \leq d_\epsilon$  then
11:    insert grid enclosing  $n$  to  $Gr$ 
12:    if action is insertion then call  $Insertion()$ 
13:    else call  $Deletion()$ 
14:    for all node  $m$  as neighbor of  $n$  do
15:      if  $m$  has not visited then
16:        enqueue  $m$  with it's distance
17:        mark  $m$  as visited
18:  for all edge  $e$  which has updated  $n_s$  or  $n_e$  in  $Gr$  do
19:    find GSP as  $gsp$ 
20:    call  $ComputeTurningPoint(gsp)$ 

```

---

Gambar 4.1 Algoritme *DetermineGSP*

### 4.3 Implementasi Fungsi *Insertion()*

Sebuah objek *uncertain*  $X$  mendominasi objek *uncertain* lain  $Y$ ,  $X \prec Y$ , dilihat dari dua jenis atribut, yaitu atribut statis(*uncertain data*) dan atribut dinamis(jarak). Pertama, dilihat dari atribut statis,  $X$  mendominasi  $Y$  apabila jumlah probabilitas



dari setiap *instance* dari  $Y$  yang terdapat pada  $DDR(X)$  lebih dari  $1 - p$ . Secara matematis hal tersebut disimbolkan dengan  $\sum_{q \text{ in } MBR(Y) \cap DDR(X)} Pr(q) > (1 - p)$ . Kedua,  $X$  mendominasi  $Y$  apabila jarak  $X$  kurang dari  $Y$ .

---

**Algorithm 2** *Insertion*

---

```

1: Input: uncertain data object  $X$ , threshold  $p$ 
2: for each object  $Q$  overlapped with  $PDR(X)$  do
3:   if  $MBR(Q)$  is within  $DDR(X)$  then
4:     mark  $Q$  as impossible object
5:   else
6:     if  $\sum_{q \text{ in } MBR(Q) \cap DDR(X)} Pr(q) > (1 - p)$  then
7:       mark  $Q$  as impossible object
8:     else
9:       update  $SkyPr(Q)$  with  $X$ 
10: compute  $SkyPr(X)$  with objects overlapped with  $PDD(X)$ 
11: insert  $X$  into  $SW-Tree$ 

```

---

Gambar 4.2 Algoritme *Insertion*

Jika  $MBR(Q)$  berada pada  $DDR(X)$ , maka objek tersebut ditandai sebagai objek *impossible* dan dinyatakan tidak dapat menjadi bagian dari *skyline*. Jika  $MBR(Q)$  berada pada  $PDR(X)$ , maka objek tersebut perlu dicek apakah probabilitasnya diatas *threshold*  $p$ . Jika jumlah probabilitas dari *instance*  $Q$  yang berada pada  $DDR(X)$  lebih dari  $1 - p$ , maka objek tersebut ditandai dan dinyatakan tidak dapat menjadi bagian dari *skyline*. Selanjutnya, penghitungan probabilitas *skyline* hanya dilakukan pada objek yang tidak ditandai. Probabilitas *skyline* dari objek yang ditandai tidak perlu diperbarui karena sudah tidak mungkin menjadi bagian dari *skyline*.

#### 4.4 Implementasi Fungsi *Deletion*

---

##### Algorithm 3 *Deletion*

---

- 1: **Input:** expired uncertain data  $U$ , threshold  $p$
  - 2: **for** each object  $Q$  overlapped with  $PDR(X)$  and not marked **do**
  - 3:     update SkyPr( $Q$ ) with removal of  $X$
  - 4: Remove  $X$  from  $SW$ -Tree
- 

Gambar 4.3 Algoritme *Deletion*

Objek *uncertain*  $X$  yang keluar dari *node* karena kadaluarsa dapat mempengaruhi probabilitas *skyline* dari objek yang lain. Pada setiap objek yang *overlap* dengan  $X$ , penghitungan probabilitas *skyline* dilakukan untuk memastikan objek tersebut memiliki kemungkinan yang terbaru.

#### 4.5 Implementasi Penentuan *Turning-point*

Algoritma dibawah mengilustrasikan penentuan *landmark* pada *edge*  $e$  yang memiliki *node* awal  $n_s$  dan *node* lainnya  $n_e$ . Queue  $Q$  dibuat untuk menampung *landmark*. Penentuan *landmark* ini berdasarkan pada objek-objek yang menjadi anggota dari  $GSP$ . Setelah mendapatkan semua *landmark*, *queue*  $Q$  diurutkan berdasarkan jarak terdekat dari *node*  $n_s$ .

---

**Algorithm 4** ComputeTurningPoint 1
 

---

- 1: **Input:** threshold  $p$ , a distance  $d_e$ , a set  $GSP$ , an edge  $e$  connecting two nodes  $n_s$  and  $n_e$
  - 2: **Output:** A set of tuples in form of  $\langle [n_i, n_j], SP^\varepsilon \rangle$  where  $SP^\varepsilon$  is the  $d_e - SP$  set between  $[n_i, n_j]$
  - 3: create an empty queue  $Q$
  - 4: **for** object  $o \in GSP$  **do**
  - 5:     determine  $o$ 's landmarks  $L_o^+$  and  $L_o^-$
  - 6:     **if**  $L_o^+$  is on  $e$  **then** insert  $L_o^+$  into  $Q$
  - 7:     **if**  $L_o^-$  is on  $e$  **then** insert  $L_o^-$  into  $Q$
  - 8:     **for** object  $o' \in (GSP - \{o\}) \cap \sum_{q \text{ in } MBR(o') \cap DDR(o)} Pr(q) > (1 - p)$  **do**
  - 9:         determine  $o'$ 's landmarks  $L_{o'}^+$  or  $L_{o'}^-$
  - 10:        **if**  $L_{o \setminus o'}^+$  is on  $e$  and  $L_o^+$  is closer to  $n_s$  than  $L_{o \setminus o'}^+$  **then**
  - 11:            insert  $L_{o \setminus o'}^+$  into  $Q$
  - 12:        **if**  $L_{o \setminus o'}^-$  is on  $e$  and  $L_o^-$  is closer to  $n_s$  than  $L_{o \setminus o'}^-$  **then**
  - 13:            insert  $L_{o \setminus o'}^-$  into  $Q$
  - 14: sort landmarks in  $Q$  in ascending order of their distances to  $n_s$
- 

Gambar 4.4 Algoritme *Compute Turning Point* bagian 1

Algoritma ini memiliki masukan  $p$ , jarak  $d_e$ ,  $GSP$ ,  $e$ ,  $n_s$ , dan  $n_e$ . Pemrosesan pertama adalah pencarian *landmark* untuk mendapatkan batas-batas dari setiap objek agar dapat menjadi bagian dari  $SP^\varepsilon$ . Pada setiap objek yang terdapat pada  $GSP$ , pencarian *landmark* dimulai dari pencarian landmark  $L_o^+$  dan  $L_o^-$  (baris 4-7). Kedua *landmark* tersebut digunakan untuk mencari *landmark*  $L_{o \setminus o'}^+$  dan  $L_{o \setminus o'}^-$ . *Landmark*  $L_{o \setminus o'}^+$  dan  $L_{o \setminus o'}^-$  hanya dicari pada objek yang saling mendominasi (baris 8). Apabila *landmark*

$L_{o \setminus o'}^+$  terdapat pada  $e$  dan landmark  $L_o^+$  lebih dengan kepada  $n_s$  dibandingkan  $L_{o \setminus o'}^+$ , maka landmark tersebut dimasukkan pada queue dan demikian juga untuk landmark  $L_{o \setminus o'}^+$  (baris 10-13). Hasil dari queue  $Q$  diurutkan berdasarkan jarak yang lebih dekat dengan  $n_s$  terlebih dahulu.

---

**Algorithm 5** ComputeTurningPoint 2
 

---

```

1: /* determining the result turning points */
2: while  $Q$  is not empty do
3:   dequeue  $o.L$ 
4:   switch  $o.L$  do
5:     case  $L_o^+$ 
6:       if there is no  $L_{o' \setminus o}^+$  then
7:         return  $\langle [n_i, L_o^+], SP^\varepsilon \rangle, n_i = L_o^+$ ,
8:         and add  $o$  into  $SP^\varepsilon$ 
9:     case  $L_o^+$ 
10:      if  $o \in SP^\varepsilon$  then
11:        return  $\langle [n_i, L_o^+], SP^\varepsilon \rangle, n_i = L_o^+$ ,
12:        and remove  $o$  from  $SP^\varepsilon$ 
13:     case  $L_{o \setminus o'}^+$ 
14:      if  $o \in SP^\varepsilon$  and  $o' \in SP^\varepsilon$  then
15:        return  $\langle [n_i, L_{o \setminus o'}^+], SP^\varepsilon \rangle, n_i = L_{o \setminus o'}^+$ ,
16:        and remove  $o'$  from  $SP^\varepsilon$ 
17:     otherwise
18:      if  $o \in SP^\varepsilon$  and there is no  $L_{o' \setminus o'}^+ \in Q$  then
19:        return  $\langle [n_i, L_{o \setminus o'}^+], SP^\varepsilon \rangle,$ 
20:         $n_i = L_{o \setminus o'}^+$ , and add  $o'$  into  $SP^\varepsilon$ 

```

---

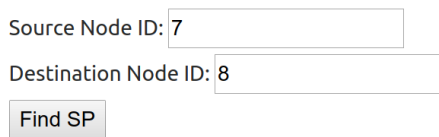
Gambar 4.5 Algoritme *Compute Turning Point* bagian 2

Setelah semua *landmark* didapatkan, pencarian *turning-point* dilakukan. *Turning-point* ini adalah hasil dari algoritma. *Turning-point* berupa sekumpulan *tuple* yang merepresentasikan interval awal  $n_i$ , interval akhir  $n_e$ , dan objek-objek yang menjadi *SP* pada interval tersebut  $SP^e$ .

#### 4.6 Implementasi Antarmuka Simulasi

Implementasi antarmuka algoritma pada tugas akhir ini menggunakan pustaka D3.js. Pustaka tersebut mudah diimplementasikan karena memiliki banyak fungsi berkaitan dengan visualisasi. *Node*, *edge*, dan objek dapat digambarkan pada peramban dengan format SVG.

Antarmuka ini menampilkan *node*, *edge*, objek, *turning-point*, titik *query*, serta  $SP^e$  yang dimiliki oleh titik *query*. *Node* direpresentasikan dengan kotak abu-abu sebagai persimpangan. *Edge* sebagai penghubung antar-*node*. Objek digambarkan dengan bulatan abu-abu. *Turning-point* digambarkan dengan kotak-kotak kecil yang berada pada *edge*. Titik *query* digambarkan dengan bulatan kuning yang bergerak.



Source Node ID: 7

Destination Node ID: 8

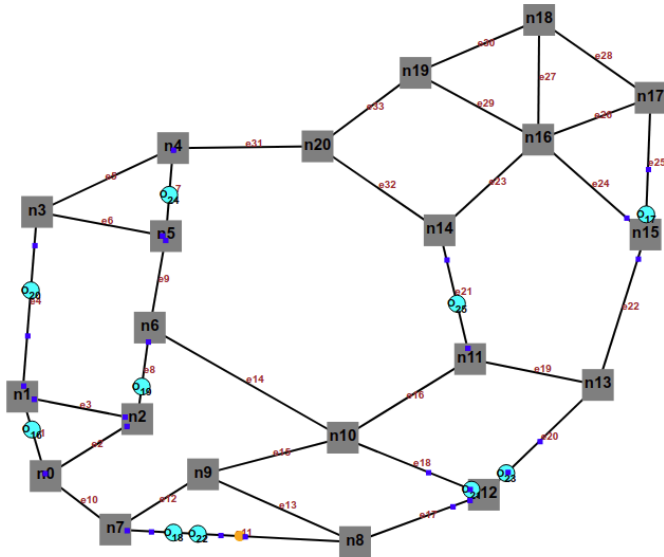
Find SP

Gambar 4.6 Antarmuka masukan *node* awal dan *node* tujuan

Perhatikan Gambar 4.6, pengguna dapat mencari rute yang diinginkan menggunakan dua masukan, yaitu *node* awal dan *node* tujuan. Setelah pengguna menekan *Find SP*, sistem akan mencari rute terdekat menggunakan algoritma Dijkstra.

## Skyline Points:

22



Gambar 4.7 Objek yang menjadi *SP* pada momen diatas adalah objek 22.

Gambar 4.7 memperlihatkan titik *query* (kuning) yang bergerak dari n7(*node* 7) menuju n8 setelah pengguna menekan tombol *Find SP*. Sistem menampilkan objek-objek yang menjadi *skyline/SP*. Nomor-nomor objek tersebut tertulis pada pojok kiri atas. Ketika titik *query* berada di tengah-tengah *edge*, objek yang menjadi *SP* pada saat tersebut adalah objek 22 ( $o_{22}$ ).

## **BAB V**

### **UJI COBA DAN EVALUASI**

Bab ini membahas hasil uji coba aplikasi yang telah dirancang dan diimplementasikan. Uji coba dilakukan untuk mengetahui kinerja aplikasi dengan lingkungan uji coba yang telah ditentukan.

#### **5.1 Lingkungan Uji Coba**

Lingkungan pengujian menggunakan komponen-komponen yang terdiri dari:

1. *Processor* Intel(R) Core(TM) i3-5010U CPU @ 2.10GHz x 4
2. RAM 6 GB

Semua pengujian menggunakan Memory Heap pada JVM sebanyak 4 GB (dengan opsi `-Xmx4g`).

#### **5.2 Data Uji Coba**

Terdapat tiga jenis data yang akan digunakan dalam pengujian Tugas Akhir ini. Tiga jenis data tersebut terdiri dari data *independent*, data *anticorrelated*, dan data *correlated*.

##### **5.2.1 Data *Independent* (IND)**

Data *independent* adalah sebuah data buatan dengan cara melakukan *random* secara utuh dengan jumlah yang telah ditentukan.

### 5.2.2 Data *Anticorrelated* (ANT)

Data *anticorrelated* adalah data yang memiliki hubungan negatif. Artinya, jika suatu nilai suatu atribut bertambah, maka atribut lain berkurang dengan rasio yang sama. Data *anticorrelated* ini memungkinkan setiap objek tidak mendominasi dan didominasi oleh objek lain.

### 5.2.3 Data *Correlated* (COR)

Data *correlated* adalah data yang memiliki hubungan erat. Dalam artian, jika nilai suatu atribut bertambah, maka atribut lain juga bertambah dengan rasio yang sama. Dalam kasus ini, suatu objek pasti mendominasi dan didominasi objek yang lain.

## 5.3 Skenario Uji Coba

Untuk menguji *performance* dari algoritme yang diusulkan, kami mengujinya dengan beberapa variasi pada faktor-faktor yang mempengaruhi jalannya algoritme, yaitu: jumlah objek, jumlah sel grid, jumlah *instance* tiap objek, dan jarak  $d_\epsilon$ . Berikut kami sajikan tabel variasi faktor-faktor yang disebutkan beserta nilai *default*.

Tabel 5.1 Atribut dari objek

Parameter	Default	Rentang
Jumlah sel grid	256 <sup>2</sup>	32 <sup>2</sup> , 64 <sup>2</sup> , 128 <sup>2</sup> , 256 <sup>2</sup> , 512 <sup>2</sup>
Jumlah objek (K)	5	0.1, 1, 5, 10, 20
Jumlah <i>instance</i> tiap objek	50	10, 50, 100, 200, 400
$d_\epsilon$ (%)	1	0.1, 0.5, 1, 2, 3
Dimensi data	2	2, 3, 4, 5, 6

Uji coba dilakukan pada peta California[8] dengan irisan garis lintang antara 32.0 hingga 37.0 dan garis bujur antara -120.0



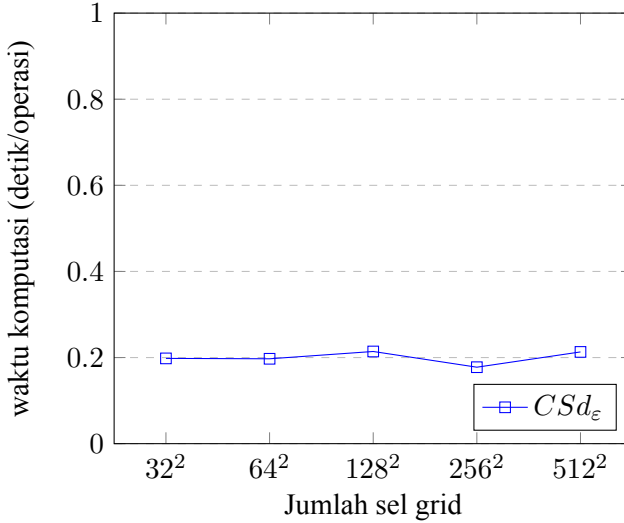
hingga -114.0. Pada koordinat tersebut didapat *node* sebanyak 8716 dan *edge* sebanyak 9077.

### 5.3.1 Skenario Uji Coba *Performance*

Pada sub-bab ini, kami menampilkan tabel uji *performance* dalam bentuk grafik. Perlu diperhatikan bahwa beberapa grafik pada bab ini menggunakan skala logaritma pada sumbu  $y$ . Uji coba dilakukan dengan membandingkan dengan metode *naive*. Metode *naive* mencari jarak terdekat setiap *node* ketika terdapat objek baru masuk pada sistem dan memasukkan objek pada *node* yang berjarak kurang dari  $d_\epsilon$ . Metode ini juga tidak menggunakan penanda *isImpossible*, artinya, jika terdapat objek baru masuk pada suatu *node*, maka metode ini membandingkan objek tersebut dengan semua objek yang ada.

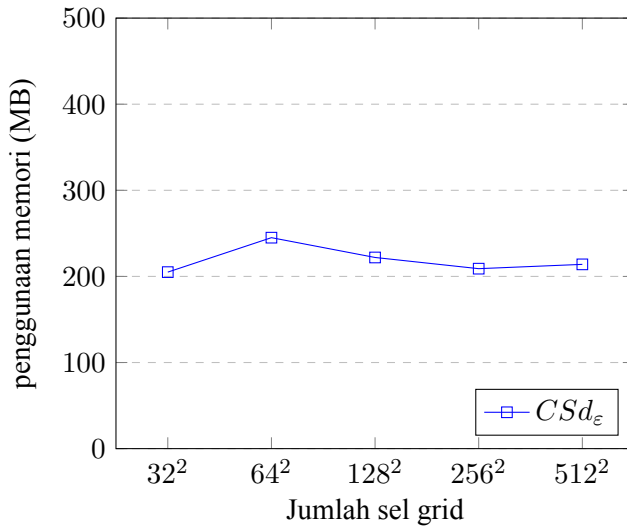
#### 5.3.1.1 Skenario Uji Coba *Performance* Terhadap Perubahan Jumlah Sel

Perubahan jumlah sel pada grid indeks tidak memberikan pengaruh banyak pada waktu komputasi dan penggunaan memori. Hal tersebut dikarenakan, jika jumlah sel sedikit, maka proses pengambilan data semakin cepat. Tetapi di sisi lain, pemrosesan data melambat karena objek yang dimuat semakin banyak. Jika jumlah sel banyak, pengambilan data semakin lama, tetapi pemrosesan data semakin cepat karena objek yang dimuat semakin sedikit.



Gambar 5.1 Pengaruh jumlah sel terhadap waktu komputasi tiap operasi dalam satuan detik

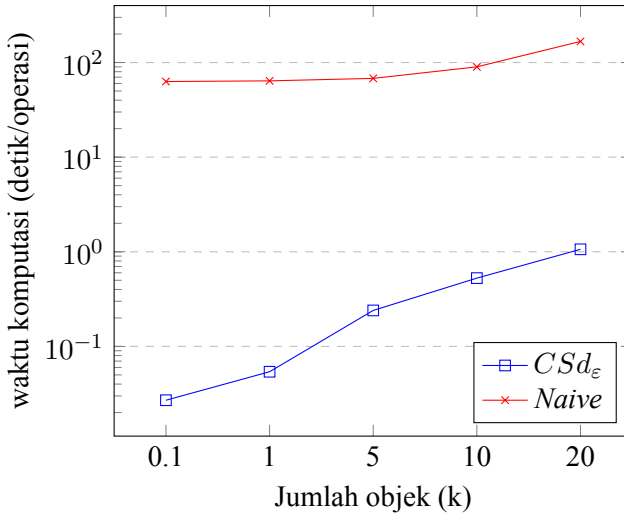
Jumlah sel tidak banyak mempengaruhi penggunaan memori dan waktu komputasi. Hal ini dikarenakan adanya *trade-off* antara proses memuat data dengan komputasi. Grid indeks yang memiliki sel sedikit menjadikan data yang dimuat lebih banyak sehingga menjadikan data yang diproses lebih banyak. Tetapi di sisi lain, sistem tidak banyak mencari data secara berulang-ulang karena setiap sel sudah mengaver area yang besar. Sedangkan grid indeks yang memiliki sel yang banyak menjadikan proses komputasi lebih efisien karena melibatkan data yang lebih sedikit. Tetapi di sisi lain, sistem harus melakukan pencarian data berulang-ulang karena sedikitnya data yang didapat pada setiap sel.



Gambar 5.2 Pengaruh jumlah sel grid terhadap penggunaan memori dalam satuan megabita

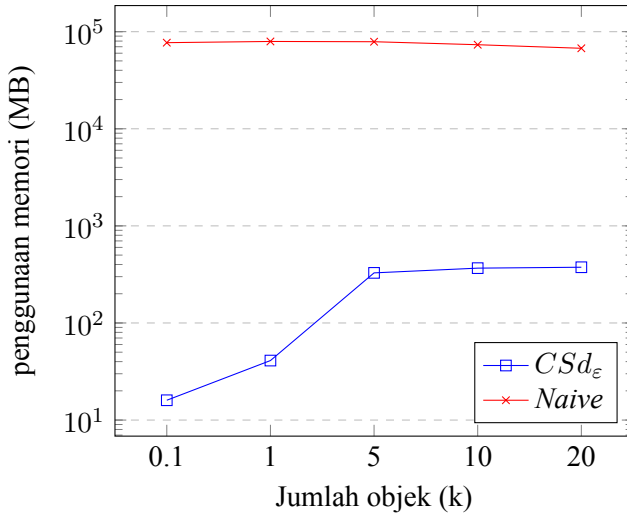
### 5.3.1.2 Skenario Uji Coba *Performance* Terhadap Perubahan Jumlah Objek

Penggunaan waktu CPU pada algoritme  $CSd_\epsilon - SQ$  jauh mengungguli algoritme *naive*. Hal ini dikarenakan algoritme *naive* menghitung jarak semua *node* dengan objek yang masuk menggunakan *shortest-path*, sedangkan  $CSd_\epsilon - SQ$  hanya menggunakan *node* yang diperlukan dan  $CSd_\epsilon - SQ$  tidak menggunakan algoritme *shortest-path*.



Gambar 5.3 Pengaruh jumlah objek terhadap waktu komputasi tiap operasi dalam satuan detik

Ketika jumlah objek bertambah, waktu pemrosesan juga bertambah, hal ini dikarenakan bertambahnya objek yang terdapat pada *node*. Dengan bertambahnya objek pada *node*, algoritme perlu membandingkan dengan objek yang lebih banyak untuk mencari probabilitas masing-masing objek menjadi *SP*.

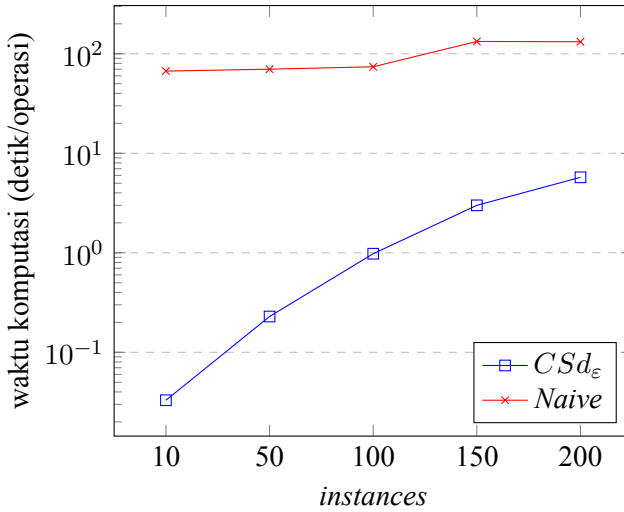


Gambar 5.4 Pengaruh jumlah objek terhadap penggunaan memori dalam satuan megabita

Terkait penggunaan memori, metode *naive* membutuhkan memori yang sangat banyak karena banyaknya *node* yang perlu diproses menggunakan algoritme *shortest-path*. Sedangkan metode *CSd<sub>ε</sub> - SQ* membutuhkan memori yang tidak banyak karena hanya menggunakan data *node* yang diperlukan saja dengan struktur grid.

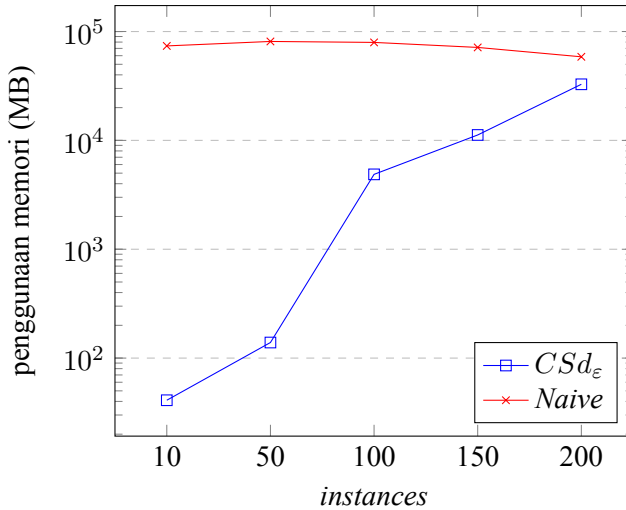
### 5.3.1.3 Skenario Uji Coba *Performance* Terhadap Perubahan Jumlah *Instance* pada Objek

Jumlah *instance* pada objek mempengaruhi waktu komputasi dan penggunaan memori. Hal ini dikarenakan proses penghitungan probabilitas melibatkan *instances* di objek. Dari sisi memori, banyaknya *instance* membuat sistem harus mengalokasikan memori lebih untuk proses penyimpanan dan komputasi.



Gambar 5.5 Pengaruh jumlah *instance* terhadap waktu komputasi tiap operasi dalam satuan detik

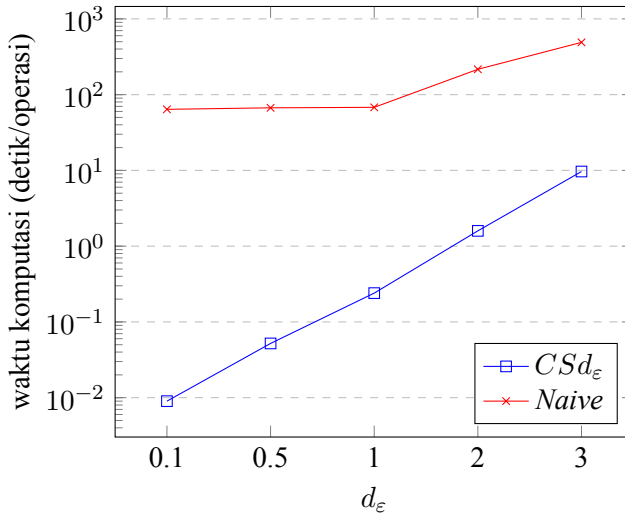
Pada metode *naive*, objek perubahan waktu komputasi terlihat ketika jumlah *instance* diatas 100. Hal ini dikarenakan waktu komputasi lebih banyak digunakan untuk penghitungan jarak terpendek dari setiap *node* ke objek, sehingga jumlah *instance* yang sedikit tidak berpengaruh banyak terhadap waktu komputasi.



Gambar 5.6 Pengaruh jumlah *instance* terhadap penggunaan memori dalam satuan megabita

#### 5.3.1.4 Skenario Uji Coba *Performance* Terhadap Perubahan Panjang Jarak Maksimal $d_\epsilon$

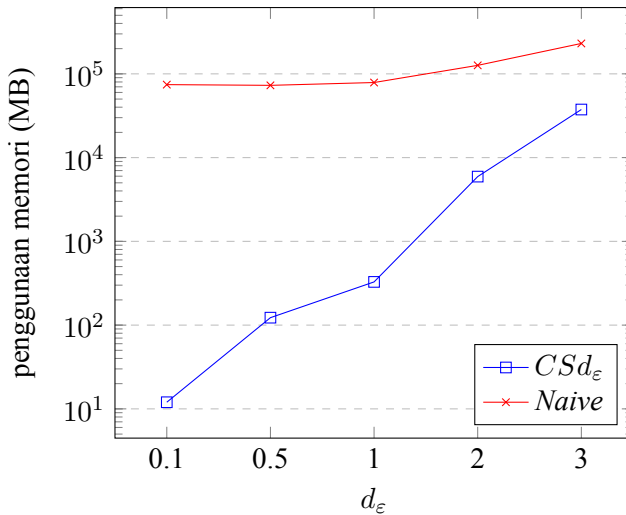
Jarak  $d_\epsilon$  sangat mempengaruhi *performance* karena  $d_\epsilon$  menentukan jarak terjauh *node* yang dapat menyimpan objek baru. Dengan bertambahnya nilai  $d_\epsilon$ , objek dapat menjangkau lebih banyak *node*. Dengan demikian, objek yang ditampung pada *node* menjadi semakin banyak. Dengan semakin banyaknya objek, proses penghitungan probabilitas *skyline* menjadi semakin lama karena harus menghitung banyak objek. Pada  $CSd_{d_\epsilon} - SQ$ , semakin besar nilai  $d_\epsilon$ , semakin banyak grid yang diakses sehingga membutuhkan waktu yang lebih banyak. Pada metode *naive*, terdapat perubahan waktu komputasi yang signifikan ketika nilai  $d_\epsilon$  diatas 1.



Gambar 5.7 Pengaruh  $d_\epsilon$  terhadap waktu komputasi tiap operasi dalam satuan detik

Penggunaan memori sangat tergantung dari jumlah objek yang diproses. Nilai  $d_\epsilon$  yang besar menjadikan objek yang diproses semakin banyak karena setiap *node* memiliki jangkauan yang lebih jauh. Banyaknya objek yang diproses menjadikan penggunaan memori semakin besar.

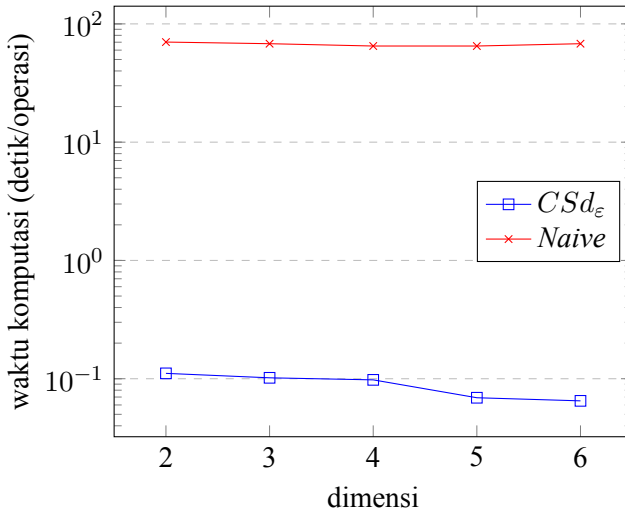




Gambar 5.8 Pengaruh  $d_\epsilon$  terhadap penggunaan memori dalam satuan megabita

### 5.3.1.5 Skenario Uji Coba *Performance* Terhadap Perubahan Dimensi Data

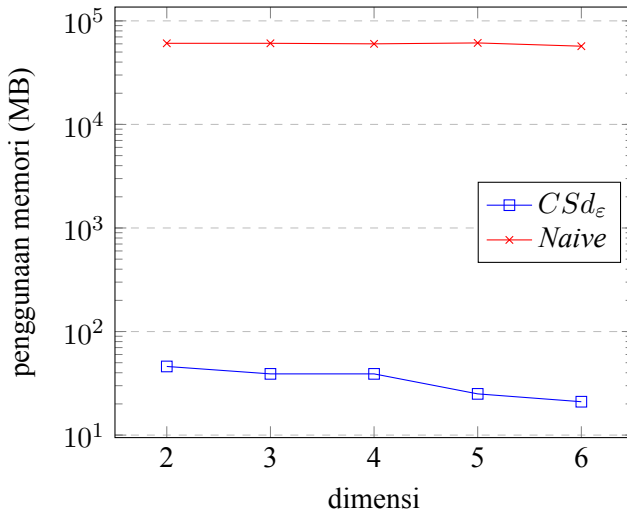
Dimensi dari *uncertain data* tidak banyak mempengaruhi *performance* dari algoritma. Pada Gambar 5.9, waktu komputasi pada algoritma  $CSD_\epsilon$  cenderung turun. Hal tersebut dikarenakan antar objek tidak banyak yang mendominasi atau didominasi karena semakin banyaknya variabel yang perlu dibandingkan. Sebagai imbasnya, penggunaan memori semakin sedikit karena proses komputasi semakin sedikit.



Gambar 5.9 Pengaruh dimensi terhadap waktu komputasi tiap operasi dalam satuan detik

Secara umum objek yang memiliki semakin banyak dimensi menjadikan objek tersebut semakin sedikit *overlap*-nya dengan objek lain. Pada algoritma ini, proses penghitungan *skyline* hanya dilakukan pada objek-objek yang *overlap* dengan objek yang dicari probabilitasnya. Dengan demikian, semakin banyak dimensi menjadikan waktu komputasi semakin kecil.

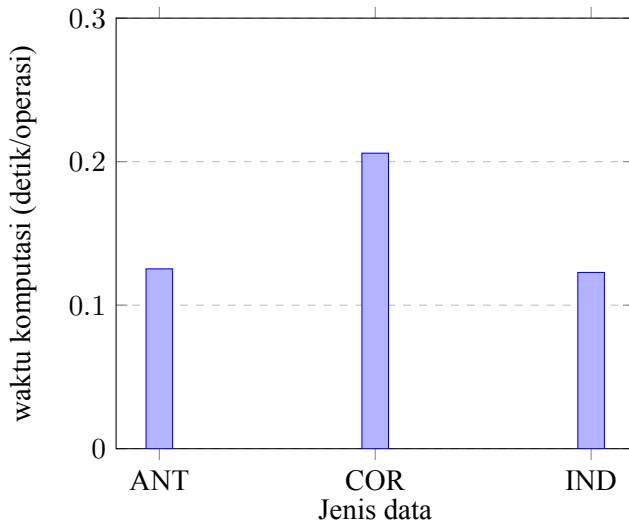
Pengalokasian memori berlaku pada objek-objek yang *overlap*. Semakin sedikit objek yang *overlap*, maka semakin sedikit memori yang dibutuhkan untuk pemrosesan probabilitas *skyline*.



Gambar 5.10 Pengaruh dimensi terhadap penggunaan memori dalam satuan megabita

### 5.3.1.6 Skenario Uji Coba *Performance* Terhadap Jenis Data

Data *anticorrelated* tidak banyak mempengaruhi komputasi karena pada penghitungan probabilitas *skyline* objek  $X$ , tidak banyak objek yang terdapat pada  $PDD(X)$ . Dengan data *correlated*, hampir setiap objek  $X$  memiliki objek yang overlap dengan  $PDD(X)$ , sehingga proses penghitungan probabilitas *skyline* menjadi lebih lama. Data *independence* tidak berbeda jauh dengan data *anticorrelated* karena objek yang terdapat pada *node* sedikit sehingga tidak banyak objek  $X$  yang memiliki probabilitas *skyline*.



Gambar 5.11 Pengaruh jenis data terhadap waktu komputasi tiap operasi dalam satuan detik

## BAB VI PENUTUP

Pada bab ini dijelaskan mengenai kesimpulan dan saran dari hasil uji coba yang telah dilakukan.

### 6.1 Kesimpulan

Dari proses desain hingga uji coba, dapat diambil beberapa hasil sebagai berikut:

1. Tugas akhir ini mengusulkan struktur data grid indeks dan metode  $CSd_\epsilon$  untuk pengolahan *skyline query* pada *uncertain data streaming* oleh titik bergerak dan objek tidak bergerak. Struktur data grid indeks memecah struktur data graf tradisional menjadi sel-sel yang berisi *node*, *edge*, dan objek. Penyimpanan objek dalam bentuk *SW-Tree* pada setiap *node* membuat proses komputasi lebih cepat.
2. Biaya komputasi pada metode  $CSd_\epsilon$  jauh lebih baik dibandingkan metode *naive* dari sisi waktu komputasi dan penggunaan memori. Komputasi metode  $CSd_\epsilon$  lebih cepat 600 kali dibandingkan metode *naive*. Dari sisi penggunaan memori, metode  $CSd_\epsilon$  lebih hemat 1500 kali dibandingkan metode *naive*.

### 6.2 Saran

Berikut beberapa saran terkait pengembangan lebih lanjut:

1. Pendefinisian jarak  $d_\epsilon$  dapat dilakukan secara dinamis. Apabila pencarian objek dengan jarak  $d_\epsilon$  tidak menemukan

hasil yang diminta, jarak  $d_\varepsilon$  dapat diperbesar secara dinamis hingga mendapatkan hasil yang sesuai.

2. Pengembangan algoritma untuk memproses objek *uncertain* yang dapat bergerak secara dinamis.
3. Pada algoritme ini proses pembaruan *instance* dari *uncertain* objek dilakukan dengan menghapus dan menambahkan objek baru. Hal ini tentunya tidak efisien. Diperlukan algoritme pembaruan objek agar lebih efisien dalam hal waktu komputasi dan penggunaan memori.

## DAFTAR PUSTAKA

- [1] Yuan-Ko Huang, Chia-heng Chang, Chiang Lee, "Continuous distance-based skyline queries in road networks", *Information Systems*, vol 37, no 7, pp. 611-633, 2012.
- [2] Liu, Chuan-Ming, Tang, Syuan-Wei, "An effective probabilistic skyline query process on uncertain data streams", in *The 6th International Conference on Emerging Ubiquitous Systems and Persuasive Networks*, Londok, UK, 2016.
- [3] Xiaofeng Ding, Xiang Lian, Lei Chan, Hai Jin, "Continuous monitoring of skylines over uncertain data streams", *Information Systems*, vol 184, no 1, pp. 196-214, 2012.
- [4] Yijie Wang, Xiaoyong Li, Yuan Wang, "A Survey of queries over uncertain data", *Knowledge and Information Systems*, vol 37, no 3, pp 485-530, 2013.
- [5] Wenjie Zhang, Xuemin Lin, Jian Pei, Ying Zhang, "Managing Uncertain Data: Probabilistic Approaches", *Web-Age Information Management*, 2008
- [6] docs.python.org, "General Python FAQ", 2018. [Online]. Available: <https://docs.python.org/3/faq/general.html>, [Accessed: 25 March 2018].
- [7] docs.scala-lang.org, "Tour of Scala", 2018. [Online]. Available: <https://docs.scala-lang.org/tour/tour-of-scala.html>, [Accessed: 28 May 2018].
- [8] Feifei Li, Dihan Cheng, Marios Hadjieleftheriou, George Kollios, Shang-Hua Teng, "On Trip Planning Queries in Spatial

Databases”, *Advances in Spatial and Temporal Databases*, vol 3633, pp 273-290, 2005

- [9] developer.mozilla.org, ”What is JavaScript?”, 2018. [Online]. Available: [https://developer.mozilla.org/en-US/docs/Web/JavaScript/About\\_JavaScript](https://developer.mozilla.org/en-US/docs/Web/JavaScript/About_JavaScript), [Accessed: 22 June 2018].



## LAMPIRAN A

### KODE SUMBER

```
1 package ta.grid
2
3 case class Edge(id: Int, i: Int, j: Int, length: Double, objects: Set[Object]) {}
```

Kode Sumber 1.1 Kode sumber kelas *Edge*

```
1 package ta.grid
2
3 import collection.spatial.{HyperPoint, RTree}
4 import ta.geometry.Point2d
5
6 sealed abstract class AbstractNode
7
8 case class Node(id: Int, x: Double, y: Double, var tree: RTree[Point2d],
9               var objects: Set[Object]) extends AbstractNode
```

Kode Sumber 1.2 Kode sumber kelas *Node*

```
1 package ta.grid
2
3 import ta.geometry.{Point2d, Rect2d}
4
5 case class Object(id: Int, edgeId: Int, var skyProb: Double,
6                 isImpossible: Boolean, nodeId: Int, rect: Rect2d, distance: Double,
7                 position: Double) {
8     def points(grid: Grid) : List[Point2d] = {
9         grid.getRawObject(this.id).get.points
10    }
11
12    def asImpossible(): Object = {
13        Object(id, edgeId, skyProb, isImpossible = true, nodeId, rect, distance, position)
14    }
15
16    def updateSkyProb(newSkyProb: Double): Object = {
17        Object(id, edgeId, newSkyProb, isImpossible, nodeId, rect, distance, position)
18    }
19 }
```

Kode Sumber 1.3 Kode sumber kelas *Object*

```
1 package ta.algorithm
2
```

```

3  import collection.spatial.RTree
4  import scalax.collection.Graph
5  import scalax.collection.edge.WLkUnDiEdge
6  import ta.graph.TempGraph
7  import ta.grid._
8  import ta.stream.{ExpiredObject, RawObject, Stream}
9  import ta.Constants._
10 import ta.geometry.{Point2d, Rect2d}
11 import ta.algorithm.TurningPoint._
12
13 import scala.collection.JavaConverters._
14 import scala.collection.immutable.Set
15 import scala.collection.mutable
16
17 case class NodeQueue(nodeId: Int, distance: Double)
18
19 object TheAlgorithm {
20   def TheAlgorithm(grid: Grid, stream: Stream): Grid = {
21     var Q: mutable.Queue[NodeQueue] = mutable.Queue[NodeQueue]()
22     val tempGraph = new TempGraph
23
24     var visitedNodes: Set[Int] = Set()
25     var updatedNodes: Set[Int] = Set()
26
27     val rawObject = stream match {
28       case _rawObject: RawObject =>
29         grid.addObjectToEdge(_rawObject)
30         grid.addRawObject(_rawObject)
31         _rawObject
32       case ExpiredObject(id) =>
33         val _rawObject = grid.getRawObject(id).get
34         _rawObject
35     }
36
37     val objectList: java.util.List[Point2d] = rawObject.points.toList.asJava
38     val rect = new Rect2d(objectList)
39
40     var addedGrid: Set[GridLocation] = Set()
41
42     val edge = grid.getEdge(rawObject.edgeId).get
43     val nodei = grid.getNode(edge.i).get
44     val nodej = grid.getNode(edge.j).get
45
46     val gridNodeI = grid.getGridLocation(nodei)
47     val gridNodeJ = grid.getGridLocation(nodej)
48
49     val EdgesNodes(edgesNodeI, nodesNodeI) = grid.getDataGrid(gridNodeI)
50     tempGraph.addEdges(nodesNodeI, edgesNodeI)
51     addedGrid += gridNodeI
52
53     if (!addedGrid.contains(gridNodeJ)) {
54       val EdgesNodes(edgesNodeJ, nodesNodeJ) = grid.getDataGrid(gridNodeJ)
55       tempGraph.addEdges(nodesNodeJ, edgesNodeJ)
56       addedGrid += gridNodeJ
57     }
58
59     val e = tempGraph.getEdge(rawObject.edgeId)
60     val distanceNodeI = e.length * rawObject.position
61     val distanceNodeJ = e.length * (1 - rawObject.position)
62
63     Q.enqueue(NodeQueue(nodei.id, distanceNodeI))
64     visitedNodes = visitedNodes + nodei.id
65     Q.enqueue(NodeQueue(nodej.id, distanceNodeJ))
66     visitedNodes = visitedNodes + nodej.id

```

```

67
68 while (Q.nonEmpty) {
69     Q = Q.sortBy(_._distance)
70     val NodeQueue(currentNodeId, distance) = Q.dequeue()
71
72     if (distance < D_EPSILON) {
73         val currentNode = grid.getNode(currentNodeId).get
74
75         val gridLocation = grid.getGridLocation(currentNode)
76
77         if (!addedGrid.contains(gridLocation)) {
78             val EdgesNodes(edgesN, nodesN) = grid.getDataGrid(gridLocation)
79             tempGraph.addEdges(nodesN, edgesN)
80             addedGrid += gridLocation
81         }
82
83         val updatedNode = stream match {
84             case _ : RawObject =>
85                 insertToNode(grid, currentNode, rawObject, distance, rect)
86             case ExpiredObject(objectId) =>
87                 deleteFromNode(grid, currentNode, objectId, rect)
88         }
89
90         tempGraph.updateNode(updatedNode)
91         grid.updateNode(updatedNode)
92         updatedNodes += updatedNode.id
93
94         val neighborNodesEdges = tempGraph.getNeighborNodesEdges(currentNodeId)
95
96         neighborNodesEdges.keys.foreach { nodeId =>
97             if (!visitedNodes.contains(nodeId)) {
98                 val distanceUnvisitedNode = distance + neighborNodesEdges(nodeId)
99                 Q.enqueue(NodeQueue(nodeId, distanceUnvisitedNode))
100                 visitedNodes += nodeId
101             }
102         }
103     }
104 }
105
106 computeTurningPoint(grid, tempGraph.edgesGraph, tempGraph.nodesGraph, updatedNodes)
107
108 if (stream.isInstanceOf[ExpiredObject]) {
109     grid.removeObjectFromEdge(stream.getId)
110     grid.removeRawObject(stream.getId)
111 }
112
113 grid
114 }
115
116 def updateGrid(grid: Grid, graph: Graph[Node, WLkUnDiEdge]): Grid = {
117     grid.updateNodes(graph.nodes.toOuter)
118 }
119
120 grid
121 }
122
123 def computeTurningPoint(grid: Grid, edges: mutable.Map[Int, Edge],
124     nodes: mutable.Map[Int, Node], updatedNodes: Set[Int]): Unit = {
125     edges.values
126         .filter(e => updatedNodes.contains(e.i) | updatedNodes.contains(e.j))
127         .foreach { e =>
128             val nodeS = nodes(e.i)
129             val nodeE = nodes(e.j)
130
131             processLandmark(grid, nodeS, e, nodeE)

```

```

131     }
132   }
133
134   def deleteFromNode(grid: Grid, currentNode: Node, objectId: Int, rect: Rect2d): Node = {
135     val objectMaybe = currentNode.objects.find(_.id == objectId)
136
137     if (objectMaybe.isEmpty) {
138       return currentNode
139     }
140
141     val toBeDeletedPoints = objectMaybe.get.points(grid)
142
143     for (point <- toBeDeletedPoints) {
144       currentNode.tree.remove(point)
145     }
146
147     var overlappedObjects = findPDROverlappedObjects(currentNode, rect)
148
149     overlappedObjects = overlappedObjects.map {
150       case q@Object(_, _, _, true, _, _, _) => q
151       case q@Object(_, _, _, _, _, _, _) =>
152         val skyProb = SkyPrX(currentNode.tree, q.id)
153         q.updateSkyProb(skyProb)
154     }
155
156     var newObjects = currentNode.objects.map { o =>
157       val updatedObjectMaybe = overlappedObjects.find(_.id == o.id)
158
159       updatedObjectMaybe match {
160         case None => o
161         case Some(obj) => obj
162       }
163     }
164
165     newObjects = newObjects.filterNot(_.id == objectId)
166
167     Node(currentNode.id, currentNode.x, currentNode.y, currentNode.tree, newObjects)
168   }
169
170   def insertToNode(grid: Grid, node: Node,
171     rawObject: RawObject,
172     distance: Double,
173     rect: Rect2d): Node = {
174
175     var overlappedObjects = findPDROverlappedObjects(node, rect)
176
177     rawObject.points.foreach(p => node.tree.add(p))
178
179     val updatedOverlappedObjects = overlappedObjects.map(q => {
180       val ddrRect = rect.getDDR.asInstanceOf[Rect2d]
181       val qRect = q.rect
182
183       if (ddrRect.contains(qRect) & distance < q.distance) {
184         q.asImpossible()
185       } else {
186         val objProb = getDominationProbability(node.tree, ddrRect, q.id)
187         if (objProb > (1 - P_THRESHOLD) & distance < q.distance) {
188           q.asImpossible()
189         } else {
190           val skyProb = SkyPrX(node.tree, q.id)
191           q.updateSkyProb(skyProb)
192         }
193       }
194     })
195   }

```

```

195
196     val updatedObjects = node.objects.map(o => {
197         val updated = updatedOverlappedObjects.find(_.id == o.id)
198
199         if (updated.nonEmpty)
200             updated.get
201         else
202             o
203     })
204
205     val PDDoverlappedObjects = findPDDOverlappedObjects(node, rect, rawObject.id)
206     val pddTree = new RTree(new Point2d.Builder, 2, 8, RTree.Split.AXIAL)
207     PDDoverlappedObjects.foreach { o =>
208         val points = grid.getRawObject(o.id).get.points
209         points.foreach { p =>
210             pddTree.add(p)
211         }
212     }
213     val skyProbU = SkyPrX(pddTree, rawObject.id)
214
215     val finalObjects = updatedObjects +
216         Object(rawObject.id, rawObject.edgeId, skyProbU, isImpossible = false,
217             node.id, rect, distance, rawObject.position)
218     Node(node.id, node.x, node.y, node.tree, finalObjects)
219 }
220
221 def SkyPrX(tree: RTree[Point2d], objectId: Int): Double = {
222     val X = scala.collection.mutable.Set[Point2d]()
223     tree.forEach { p =>
224         if (p.o == objectId) X.add(p)
225     }
226
227     X.map(x => x.p * SkyPrx(tree, X, x))
228         .sum
229 }
230
231 def SkyPrx(tree: RTree[Point2d], X: mutable.Set[Point2d], x: Point2d): Double = {
232     val entries = mutable.Set[Point2d]()
233     tree.forEach(p => entries.add(p))
234
235     entries
236         .toList
237         .filterNot(e => X.contains(e))
238         .groupBy(_.o)
239         .values
240         .map(Y => PrYnotdominatex(Y, x))
241         .product
242 }
243
244 def PrYnotdominatex(Y: List[Point2d], x: Point2d): Double = {
245     Y.filter(y => isyNotDominatex(y, x))
246         .foldLeft(0.0) ((acc, e) => acc + e.p)
247 }
248
249 def isyNotDominatex(y: Point2d, x: Point2d): Boolean = {
250     if (y.x <= x.x & y.y <= x.y) {
251         false
252     } else {
253         true
254     }
255 }
256
257 def getDominationProbability(tree: RTree[Point2d], ddrRect: Rect2d, objectId: Int)
258     : Double = {

```

```

259     val result = new Array[Point2d](N_POINTS)
260
261     tree.search(DDRRect, result)
262
263     result
264       .filter(_.isInstanceOf[Point2d])
265       .filter(_.o == objectId)
266       .foldLeft(0.0)((acc, e) => acc + e.p)
267   }
268
269   def findPDROverlappedObjects(node: Node, rect: Rect2d): Set[Object] = {
270     val tree = node.tree
271     val PDRBox: Rect2d = rect.getPDR.asInstanceOf[Rect2d]
272     val overlappedPoints: Array[Point2d] = new Array[Point2d](N_POINTS)
273     tree.search(PDRBox, overlappedPoints)
274
275     val objectIds = overlappedPoints.toList
276                       .filter(_.isInstanceOf[Point2d]).map(_.o).toSet
277     val objects = objectIds.map(id => {
278       val a = node.objects.find(_.id == id)
279       a.get
280     })
281
282     objects
283   }
284
285   def findPDDOverlappedObjects(node: Node, rect: Rect2d, currentId: Int)
286     : Set[Object] = {
287     val tree = node.tree
288     val pddBox: Rect2d = rect.getPDD.asInstanceOf[Rect2d]
289     val overlappedPoints: Array[Point2d] = new Array[Point2d](N_POINTS)
290     tree.search(pddBox, overlappedPoints)
291
292     val objectIds = overlappedPoints.toList
293                       .filter(_.isInstanceOf[Point2d])
294                       .map(_.o).toSet - currentId
295
296     val objects = objectIds.map(id => {
297       val a = node.objects.find(_.id == id)
298       a.get
299     })
300
301     objects
302   }
303 }

```

Kode Sumber 1.4 Kode sumber pemrosesan utama

```

1  package ta.algorithm
2
3  import collection.spatial.RTree
4
5  import scala.collection.mutable
6  import ta.grid.Node
7  import ta.grid.Edge
8  import ta.grid.Object
9  import ta.Constants._
10 import ta.geometry._
11 import ta.landmark._
12 import ta.algorithm.TheAlgorithm._
13 import ta.grid.Grid

```

```

14
15 import scala.collection.JavaConverters._
16
17 case class TP(dStart: Double, dEnd: Double, SP: Set[Object])
18
19 object TurningPoint {
20   def processLandmark(grid: Grid, nodeS: Node, edge: Edge, nodeE: Node): Unit = {
21     val spNodeS = nodeS.objects.filter(o => !o.isImpossible &
22       o.skyProb >= P_THRESHOLD)
23     val spNodeE = nodeE.objects.filter(o => !o.isImpossible &
24       o.skyProb >= P_THRESHOLD)
25     val Se = edge.objects
26
27     val findSimilar = (objects: Set[Object], obj: Object) =>
28       objects.find(o => o.id == obj.id & o != obj)
29
30     val SP = spNodeS ++ spNodeE ++ Se
31
32     val dataPoints = SP.map { o =>
33       o.id -> grid.getRawObject(o.id).get.points
34     }.toMap
35
36     val Q = mutable.Queue[Landmark]()
37
38     def findDominatedObjects(obj: Object, objects: Set[Object]): Set[Object] = {
39       objects.filter(o => {
40         val pointsL = dataPoints(obj.id)
41         val points = dataPoints(o.id)
42
43         val tree = new RTree(new Point2d.Builder(), 2, 8, RTree.Split.AXIAL)
44
45         pointsL.foreach(p => tree.add(p))
46         points.foreach(p => tree.add(p))
47
48         val ddrRect = new Rect2d(pointsL.asJava).getDDR.asInstanceOf[Rect2d]
49
50         val objProb = getDominationProbability(tree, ddrRect, o.id)
51
52         if (objProb > 1 - P_THRESHOLD)
53           true
54         else
55           false
56       })
57     }
58
59     val SeId = Se.map(_.id)
60
61     Se.foreach { obj =>
62       val llDistance = obj.distance - D_EPSILON
63       if (llDistance >= 0 & llDistance <= edge.length) {
64         val landmarkLeft =
65           new LandmarkLeft(obj.distance - D_EPSILON, Some(edge.id), obj.id)
66         Q.enqueue(landmarkLeft)
67       }
68
69       val lrDistance = obj.distance + D_EPSILON
70       if (lrDistance <= edge.length & lrDistance >= 0) {
71         val landmarkRight =
72           new LandmarkRight(obj.distance + D_EPSILON, Some(edge.id), obj.id)
73         Q.enqueue(landmarkRight)
74       }
75     }
76
77     spNodeS

```

```

78     .filterNot(o => SeId.contains(o.id))
79     .foreach { obj =>
80         val distance = findDistanceFromNodeS(obj, edge, spNodeE)
81         val distanceLandmark = D_EPSILON + distance
82         if (distanceLandmark >= 0 & distanceLandmark <= edge.length) {
83             val landmarkRight =
84                 new LandmarkRight(distanceLandmark, Some(edge.id), obj.id)
85             Q.enqueue(landmarkRight)
86         }
87     }
88
89     spNodeE
90     .filterNot(o => SeId.contains(o.id))
91     .foreach { obj =>
92         val distanceObject = findDistanceFromNodeE(obj, edge, spNodeS)
93         val distanceLandmark = distanceObject - D_EPSILON
94         if (distanceLandmark >= 0 & distanceLandmark <= edge.length) {
95             val landmarkLeft =
96                 new LandmarkLeft(distanceLandmark, Some(edge.id), obj.id)
97
98             val similar = findSimilar(spNodeS, obj)
99             if (similar.isDefined) {
100                 if (math.abs(similar.get.distance - obj.distance) != edge.length) {
101                     Q.enqueue(landmarkLeft)
102                 }
103             } else {
104                 Q.enqueue(landmarkLeft)
105             }
106         }
107     }
108
109     SP.foreach { o =>
110         val distanceO = findDistance(o, edge, spNodeS, spNodeE)
111
112         val dominatedObjects = findDominatedObjects(o, SP.filterNot(_.id == o.id))
113         dominatedObjects.foreach { dominatedObj =>
114             val distanceDominatedObj = findDistance(dominatedObj, edge, spNodeS, spNodeE)
115             var distanceLandmark: Double = -1.0
116
117             if (distanceO > distanceDominatedObj) {
118                 // landmark mid left
119                 distanceLandmark = -1.0
120                 if (spNodeS.contains(dominatedObj) & !SeId.contains(dominatedObj.id)) {
121                     distanceLandmark = (distanceO - distanceDominatedObj)/2
122                 } else if (SeId.contains(dominatedObj.id)) {
123                     distanceLandmark = (distanceO + distanceDominatedObj)/2
124                 }
125
126                 if (distanceLandmark >= 0 & distanceLandmark <= edge.length) {
127                     val landmark =
128                         new LandmarkLeftMid(distanceLandmark, Some(edge.id), o.id, dominatedObj.id)
129
130                     val isExists = Q.exists {
131                         case mid: LandmarkLeftMid =>
132                             if (mid.objId == o.id & mid.objDominatedId == dominatedObj.id) {
133                                 true
134                             } else {
135                                 false
136                             }
137                         case _ =>
138                             false
139                     }
140
141                     if (!isExists) {

```



```

142         Q.enqueue(landmark)
143     }
144 }
145 } else {
146     // landmark mid right
147     distanceLandmark = -1.0
148     if (spNodeE.contains(dominatedObj) & !SeId.contains(dominatedObj.id)) {
149         distanceLandmark = (distanceDominatedObj - distanceO)/2
150     } else if (SeId.contains(dominatedObj.id)) {
151         distanceLandmark = (distanceO + distanceDominatedObj)/2
152     }
153 }
154
155 if (distanceLandmark >= 0 & distanceLandmark <= edge.length) {
156     val landmark =
157         new LandmarkRightMid(distanceLandmark, Some(edge.id), o.id, dominatedObj.id)
158
159     val isExists = Q.exists {
160         case mid: LandmarkRightMid =>
161             if (mid.objId == o.id & mid.objDominatedId == dominatedObj.id) {
162                 true
163             } else {
164                 false
165             }
166         case _ =>
167             false
168     }
169
170     if (!isExists) {
171         Q.enqueue(landmark)
172     }
173 }
174 }
175 }
176
177 processLandmark(Q.toList, spNodeS, spNodeE, edge)
178 }
179
180 def findDistanceFromNodeS(obj: Object, edge: Edge, spNodeE: Set[Object]): Double = {
181     if (obj.edgeId == edge.id) {
182         edge.length * obj.position
183     } else {
184         val objInSpNodeEMaybe = spNodeE.find(_.id == obj.id)
185         if (objInSpNodeEMaybe.isDefined) {
186             if (objInSpNodeEMaybe.get.distance < obj.distance) {
187                 obj.distance + edge.length
188             } else {
189                 obj.distance * -1
190             }
191         } else {
192             obj.distance * -1
193         }
194     }
195 }
196
197 def findDistanceFromNodeE(obj: Object, edge: Edge, spNodeS: Set[Object]): Double = {
198     if (obj.edgeId == edge.id) {
199         edge.length * obj.position
200     } else {
201         val objInSpNodeSMaybe = spNodeS.find(_.id == obj.id)
202         if (objInSpNodeSMaybe.isDefined) {
203             if (objInSpNodeSMaybe.get.distance < obj.distance) {
204                 obj.distance * -1
205             } else {

```

```

206         obj.distance + edge.length
207     }
208 } else {
209     obj.distance + edge.length
210 }
211 }
212 }
213
214 def findDistance(obj: Object, edge: Edge, spNodeS: Set[Object],
215     spNodeE: Set[Object]): Double = {
216     if (obj.edgeId == edge.id) {
217         edge.length * obj.position
218     } else {
219         if (spNodeS.contains(obj)) {
220             findDistanceFromNodeS(obj, edge, spNodeE)
221         } else {
222             findDistanceFromNodeE(obj, edge, spNodeS)
223         }
224     }
225 }
226
227 def processLandmark(landmarks: List[Landmark], spNodeS: Set[Object],
228     spNodeE: Set[Object], edge: Edge): Unit = {
229     val sortedLandmarks = landmarks.sortBy(_.distance)
230     val objects = spNodeS ++ spNodeE ++ edge.objects
231
232     var SP = spNodeS
233
234     val filteredLandmarks = sortedLandmarks.filterNot(_.distance < 0)
235     val queue = scala.collection.mutable.Queue[Landmark](filteredLandmarks: _*)
236
237     var dStart: Double = 0
238     val dEnd: Double = edge.length
239
240     var turningPointList = Vector[TP]()
241
242     def isObjectInSP(SP: Set[Object], objId: Int): Boolean = {
243         SP.exists(_.id == objId)
244     }
245
246     while (queue.nonEmpty) {
247         val l = queue.dequeue()
248
249         l match {
250             case _: LandmarkLeft =>
251                 val isLandmarkRightMidExist = queue.exists {
252                     case a: LandmarkRightMid =>
253                         a.objDominatedId == l.objId
254                     case _ =>
255                         false
256                 }
257
258                 val landmarkRightMaybe = queue.find { landmark =>
259                     landmark.isInstanceOf[LandmarkRight] & landmark.objId == l.objId
260                 }
261
262                 if (landmarkRightMaybe.isDefined) {
263                     queue = queue.filterNot(_ == landmarkRightMaybe.get)
264                 } else {
265                     if (!isLandmarkRightMidExist) {
266                         val obj = objects.find(_.id == l.objId).get
267
268                         turningPointList = turningPointList :+ TP(dStart, l.distance, SP)
269

```

```

270         dStart = l.distance
271         SP = SP + obj
272     }
273 }
274 case _: LandmarkRight =>
275     if (isObjectInSP(SP, l.objId) ) {
276         val obj = SP.find(_id == l.objId).get
277
278         turningPointList = turningPointList :+ TP(dStart, l.distance, SP)
279
280         dStart = l.distance
281         SP = SP - obj
282     }
283 case landmark: LandmarkLeftMid =>
284
285     if (isObjectInSP(SP, landmark.objId)
286         & isObjectInSP(SP, landmark.objDominatedId) ) {
287         val objDominated = SP.find(_id == landmark.objDominatedId).get
288
289         turningPointList = turningPointList :+ TP(dStart, l.distance, SP)
290
291         dStart = l.distance
292         SP = SP - objDominated
293     }
294 case _ =>
295     val landmark = l.asInstanceOf[LandmarkRightMid]
296
297     val isLandmarkRightMidExist = queue.exists {
298         case a: LandmarkRightMid =>
299             a.objDominatedId == landmark.objDominatedId
300         case _ =>
301             false
302     }
303
304     if (isObjectInSP(SP, l.objId) & !isLandmarkRightMidExist) {
305         val objDominated = objects.find(_id == landmark.objDominatedId).get
306
307         turningPointList = turningPointList :+ TP(dStart, l.distance, SP)
308
309         dStart = l.distance
310         SP = SP + objDominated
311     }
312 }
313 }
314
315     turningPointList = turningPointList :+ TP(dStart, dEnd, SP)
316 }
317 }

```

Kode Sumber 1.5 Kode sumber penentuan *turning-point*

```

1 package ta.graph
2
3 import scalax.collection.immutable.Graph
4 import scalax.collection.edge.WLkUnDiEdge
5 import ta.grid.{Edge, Node}
6
7 import scala.collection.mutable
8
9 class TempGraph {
10     var graphInt: Graph[Int, WLkUnDiEdge] = Graph()

```

```

11  var nodesGraph: scala.collection.mutable.Map[Int, Node] = mutable.Map()
12  var edgesGraph: scala.collection.mutable.Map[Int, Edge] = mutable.Map()
13
14  def getNeighborNodesEdges(nodeId: Int): Map[Int, Double] = {
15    graphInt.get(nodeId).edges.map { e =>
16      if (e._1.toOuter == nodeId) {
17        e._2.toOuter -> e.weight
18      } else {
19        e._1.toOuter -> e.weight
20      }
21    }.toMap
22  }
23
24  def updateNode(node: Node): Unit = {
25    this.nodesGraph(node.id) = node
26  }
27
28  def getEdge(edgeId: Int): Edge = {
29    this.edgesGraph(edgeId)
30  }
31
32  def addEdges(nodes: Set[Node], edges: Set[Edge]): Unit = {
33    nodes.foreach { n =>
34      this.nodesGraph(n.id) = n
35    }
36
37    edges.foreach { e =>
38      this.graphInt = graphInt + WLkUnDiEdge(e.i, e.j) (e.length, e.id)
39      this.edgesGraph(e.id) = e
40    }
41  }
42
43  def getNode(nodeId: Int): Option[Node] = {
44    this.nodesGraph.get(nodeId)
45  }
46  }

```

Kode Sumber 1.6 Kode sumber graf sementara

```

1  package ta.grid
2
3  import java.io.FileWriter
4
5  import scala.collection.immutable.Set
6  import ta.stream.RawObject
7  import ta.{RawEdge, RawNode}
8  import collection.spatial.RTree
9  import ta.algorithm.TheAlgorithm.SkyPrX
10 import ta.grid.Rect._
11 import ta.Constants._
12 import ta.geometry.Point2d
13
14 import scala.math.{floor, round}
15
16 case class EdgesNodes(edges: Set[Edge], nodes: Set[Node])
17 case class Table(edges: Set[Int], nodes: Set[Int])
18
19 class Grid extends Cloneable {
20   private var edges: Set[Edge] = Set()
21   var nodes: Set[Node] = Set()
22   private var rawObjects: Set[RawObject] = Set()

```

```

23
24
25 def createDataNaive = {
26   val filename = "n"+N_OBJECTS+"np"+N_POINTS+"g"+N_GRID_CELL+"d"+PERCENT_DISTANCE+"p"+P_THRESHO
27   val fwclear = new FileWriter("import/grid-obj-"+filename+".txt")
28   fwclear.close()
29   rawObjects.foreach { ro =>
30     /*
31      id edgeId pos sizePoints
32      foreach sizePoints
33      px py pp po
34      */
35     val fw = new FileWriter("import/grid-obj-"+filename+".txt", true)
36     fw.write(
37       ro.id + "_" + ro.edgeId + "_" + ro.position + "_" + ro.points.size + "_"
38     )
39     var strp = ""
40     ro.points.foreach { p =>
41       strp += p.x + "_" + p.y + "_" + p.p + "_" + p.o + "_"
42     }
43     fw.write(strp + "\n")
44     fw.close()
45   }
46   val fw2clear = new FileWriter("import/grid-node-"+filename+".txt")
47   fw2clear.close()
48   nodes.foreach { n =>
49     val fw2 = new FileWriter("import/grid-node-"+filename+".txt", true)
50     /*
51      nodeID objectSize
52      foreach objectSize
53      id distance skyprob edgeId pos
54      */
55     fw2.write(
56       n.id + "_" + n.objects.size + "_"
57     )
58     var str = ""
59     n.objects.foreach { o =>
60       str += o.id + "_" + o.distance + "_" + o.skyProb + "_" + o.edgeId + "_" + o.position + "_"
61     }
62     fw2.write(str + "\n")
63     fw2.close()
64   }
65 }
66
67 def updateAllSkyProb(): Unit = {
68   this.nodes = this.nodes.par.map { node =>
69     println(node.id)
70     node.objects = node.objects.map { o =>
71       if (o.isImpossible) {
72         o
73       } else {
74         o.skyProb = SkyPrX(node.tree, o.id)
75         o
76       }
77     }
78   }
79   node
80 }.toList.toSet
81 }
82
83 var tableGrid: Map[Int, Map[Int, Table]] = Map()
84
85 def getRawObject(objectId: Int): Option[RawObject] = rawObjects.par.find(_.id == objectId)
86 def addRawObject(rawObject: RawObject): Unit =

```

```

87     this.rawObjects = this.rawObjects + rawObject
88 def removeRawObject(objectId: Int): Unit = {
89     val rawObject = this.rawObjects.par.find(_.id == objectId).get
90     this.rawObjects = this.rawObjects - rawObject
91 }
92
93 def addRawNodes(nodes: Set[RawNode]): Unit = {
94     nodes.map(raw => {
95         val emptyTree = new RTree(new Point2d.Builder(), 2, 8, RTree.Split.AXIAL)
96         Node(raw.id, raw.x, raw.y, emptyTree, Set())
97     }).foreach(addNode)
98 }
99
100 def getNode(nodeId: Int): Option[Node] = this.nodes.par.find(_.id == nodeId)
101 def addNode(node: Node): Unit = this.nodes = this.nodes + node
102 def addNodes(nodes: Set[Node]): Unit = this.nodes = this.nodes ++ nodes
103 def updateNode(node: Node): Unit = {
104     this.synchronized {
105         val currentNode = this.nodes.par.find(_.id == node.id).get
106         currentNode.tree = node.tree
107         currentNode.objects = node.objects
108     }
109 }
110
111 def updateNodes(nodes: Set[Node]): Unit = {
112     val updatedNodeIds = nodes.map(_.id)
113
114     this.nodes =
115         this.nodes
116             .filterNot(n => {
117                 updatedNodeIds.contains(n.id)
118             })
119             .++(nodes)
120 }
121
122 def isNodeExist(nodeId: Int): Boolean = this.nodes.exists(_.id == nodeId)
123
124 /** Find all nodes inside GridLocation */
125 def getNodes(g: GridLocation): List[Node] = {
126     this.nodes.par.filter((n: Node) => {
127         (round(floor(n.x / GRID_WIDTH)) == g.x) & (round(floor(n.y / GRID_HEIGHT)) == g.y)
128     }).toList
129 }
130
131 def getNodesFromId(nodeIds: Set[Int]): List[Node] = {
132     this.nodes.par.filter((n: Node) => nodeIds.contains(n.id)).toList
133 }
134
135 /** Find all nodes connected to edges */
136 def getNodes(edges: List[Edge]): List[Node] = {
137     val nodeIds = edges.flatMap((e: Edge) => Set(e.i, e.j))
138
139     this.nodes.par.filter((n: Node) => nodeIds.contains(n.id)).toList
140 }
141
142 def addRawEdges(edges: Set[RawEdge]): Unit = {
143     val es = edges.par.map(rawEdge => {
144         val nodei = getNode(rawEdge.i).get
145
146         rawEdge.lengthMaybe match {
147             case Some(length) =>
148                 Edge(rawEdge.id, rawEdge.i, rawEdge.j, length, Set())
149             case None =>
150                 val nodej = getNode(rawEdge.j).get

```

```

151         val dx = nodej.x - nodei.x
152         val dy = nodej.y - nodei.y
153         val length = Math.sqrt(dx*dx + dy*dy)
154         Edge(rawEdge.id, rawEdge.i, rawEdge.j, length, Set())
155     }
156     }).toList.toSet
157
158     addEdges(es)
159 }
160
161 // edge
162 def getEdge(edgeId: Int): Option[Edge] = this.edges.par.find(_id == edgeId)
163
164 def addEdge(edge: Edge): Unit = {
165     this.edges = this.edges + edge
166 }
167
168 def addEdges(edges: Set[Edge]): Unit = {
169     edges.foreach((e: Edge) => {
170         addEdge(e)
171     })
172 }
173
174 def addObjectToEdge(rawObject: RawObject): Unit = {
175     val edgeMaybe = this.edges.par.find(_id == rawObject.edgeId)
176
177     if (edgeMaybe.isEmpty) {
178         println(rawObject)
179     }
180
181     val edge = edgeMaybe.get
182
183     val newObject = Object(
184         rawObject.id,
185         rawObject.edgeId,
186         100,
187         isImpossible = false,
188         edge.i,
189         createRect(rawObject.points),
190         rawObject.position * edge.length,
191         rawObject.position)
192
193     addObjectToEdge(newObject)
194 }
195
196 def addObjectToEdge(obj: Object): Unit = {
197     val e = this.edges.par.find(_id == obj.edgeId).get
198     val newEdge = Edge(e.id, e.i, e.j, e.length, e.objects + obj)
199
200     this.edges = this.edges - e + newEdge
201 }
202
203 def removeObjectFromEdge(obj: Object): Unit = {
204     val e = this.edges.par.find(_id == obj.edgeId).get
205
206     this.edges = this.edges - e + Edge(e.id, e.i, e.j, e.length, e.objects - obj)
207 }
208
209 def removeObjectFromEdge(objectId: Int): Unit = {
210     val o = this.rawObjects.par.find(_id == objectId).get
211     val e = this.edges.par.find(_id == o.edgeId).get
212     val deletedObject = e.objects.find(_id == objectId).get
213
214     this.edges = this.edges - e + Edge(e.id, e.i, e.j, e.length, e.objects - deletedObject)

```

```

215 }
216
217 def getEdges(nodes: List[Node]): List[Edge] = {
218     val nodeIds = nodes.map((n: Node) => n.id)
219
220     this.edges.par.filter((e: Edge) => {
221         nodeIds.contains(e.i) | nodeIds.contains(e.j)
222     }).toList
223 }
224
225 def getGridLocation(node: Node): GridLocation = {
226     val gx = math.floor(node.x / GRID_WIDTH).toInt
227     val gy = math.floor(node.y / GRID_HEIGHT).toInt
228
229     GridLocation(gx, gy)
230 }
231
232 def getGridLocation(x: Double, y: Double): GridLocation = {
233     val gx = math.floor(x / GRID_WIDTH).toInt
234     val gy = math.floor(y / GRID_HEIGHT).toInt
235
236     GridLocation(gx, gy)
237 }
238
239 def getDataGrid(g: GridLocation): EdgesNodes = {
240     val _nodes = getNodes(g)
241     val _nodeIds = _nodes.map(_id)
242     val edges = getEdges(_nodes)
243     val nodeIds = edges
244         .flatMap(e => Set(e.i, e.j))
245         .filterNot(nid => _nodeIds.contains(nid))
246         .toSet
247
248     val nodes = getNodesFromId(nodeIds).toSet
249
250     EdgesNodes(edges.toSet, _nodes.toSet ++ nodes)
251 }
252 }

```

Kode Sumber 1.7 Kode sumber penentuan grid

```

1 package ta.geometry;
2
3 /*
4  * #%L
5  * Conversant RTree
6  * ~~
7  * Conversantmedia.com © 2016, Conversant, Inc. Conversant® is a trademark of Conversant, Inc.
8  * ~~
9  * Licensed under the Apache License, Version 2.0 (the "License");
10 * you may not use this file except in compliance with the License.
11 * You may obtain a copy of the License at
12 *
13 *     http://www.apache.org/licenses/LICENSE-2.0
14 *
15 * Unless required by applicable law or agreed to in writing, software
16 * distributed under the License is distributed on an "AS IS" BASIS,
17 * WITHOUT WARRANTIES OR CONDITIONS OF ANY KIND, either express or implied.
18 * See the License for the specific language governing permissions and
19 * limitations under the License.
20 * #L%

```



```

21  *
22  * Modifications copyright (C) 2018 <syukronrm>
23  */
24
25  import collection.spatial.HyperPoint;
26  import collection.spatial.HyperRect;
27  import collection.spatial.RTree;
28  import collection.spatial.RectBuilder;
29
30  /**
31   * Created by jcovert on 6/15/15.
32   */
33  public final class Point2d implements HyperPoint {
34      public static final int X = 0;
35      public static final int Y = 1;
36
37      public final double x, y, p;
38      public final int o;
39
40      public Point2d(final double x, final double y, final double p, final int o) {
41          this.x = x;
42          this.y = y;
43          this.p = p;
44          this.o = o;
45      }
46
47      public Point2d(final double x, final double y) {
48          this.x = x;
49          this.y = y;
50          this.p = 0;
51          this.o = 0;
52      }
53
54      @Override
55      public int getNDim() {
56          return 2;
57      }
58
59      @Override
60      public Double getCoord(final int d) {
61          if(d==X) {
62              return x;
63          } else if(d==Y) {
64              return y;
65          } else {
66              throw new IllegalArgumentException("Invalid_dimension");
67          }
68      }
69
70      @Override
71      public double distance(final HyperPoint p) {
72          final Point2d p2 = (Point2d)p;
73
74          final double dx = p2.x-x;
75          final double dy = p2.y-y;
76          return Math.sqrt(dx*dx + dy*dy);
77      }
78
79      @Override
80      public double distance(final HyperPoint p, final int d) {
81          final Point2d p2 = (Point2d)p;
82          if(d == X) {
83              return Math.abs(p2.x - x);
84          } else if (d == Y) {

```

```

85         return Math.abs(p2.y - y);
86     } else {
87         throw new IllegalArgumentException("Invalid dimension");
88     }
89 }
90
91 public boolean equals(final Object o) {
92     if(this == o) return true;
93     if(o==null || getClass() != o.getClass()) return false;
94
95     final Point2d p = (Point2d) o;
96     return RTree.isEqual(x, p.x) &&
97         RTree.isEqual(y, p.y) &&
98         RTree.isEqual(this.p, p.p) &&
99         this.o == p.p;
100 }
101
102
103 public int hashCode() {
104     return Double.hashCode(x) ^
105         31*Double.hashCode(y) ^
106         31*31*Double.hashCode(p) ^
107         31*31*Double.hashCode(o);
108 }
109
110 public final static class Builder implements RectBuilder<Point2d> {
111
112     @Override
113     public HyperRect getBBox(final Point2d point) {
114         return new Rect2d(point);
115     }
116
117     @Override
118     public HyperRect getMbr(final HyperPoint p1, final HyperPoint p2) {
119         final Point2d point1 = (Point2d)p1;
120         final Point2d point2 = (Point2d)p2;
121         return new Rect2d(point1, point2);
122     }
123 }
124 }

```

Kode Sumber 1.8 Kode sumber titik dua dimensi

```

1 package ta.geometry;
2
3 /*
4  * %%L
5  * Conversant RTree
6  * ~~
7  * Conversantmedia.com © 2016, Conversant, Inc. Conversant® is a trademark of Conversant, Inc.
8  * ~~
9  * Licensed under the Apache License, Version 2.0 (the "License");
10 * you may not use this file except in compliance with the License.
11 * You may obtain a copy of the License at
12 *
13 *     http://www.apache.org/licenses/LICENSE-2.0
14 *
15 * Unless required by applicable law or agreed to in writing, software
16 * distributed under the License is distributed on an "AS IS" BASIS,
17 * WITHOUT WARRANTIES OR CONDITIONS OF ANY KIND, either express or implied.
18 * See the License for the specific language governing permissions and

```

```

19  * limitations under the License.
20  * #L$
21  *
22  * Modifications copyright (C) 2018 <syukronrm>
23  */
24
25  import collection.spatial.HyperPoint;
26  import collection.spatial.HyperRect;
27  import collection.spatial.RectBuilder;
28
29  import java.util.List;
30
31  /**
32   * Created by jcovert on 6/15/15.
33   */
34  public final class Rect2d implements HyperRect {
35      private Point2d min, max;
36
37      public Rect2d(List<Point2d> points) {
38          setPoints(points);
39      }
40
41      public Rect2d(final Point2d p) {
42          min = new Point2d(p.x, p.y);
43          max = new Point2d(p.x, p.y);
44      }
45
46      public Rect2d(final double x1, final double y1, final double x2, final double y2) {
47          min = new Point2d(x1, y1);
48          max = new Point2d(x2, y2);
49      }
50
51      public Rect2d(final Point2d p1, final Point2d p2) {
52          final double minX, minY, maxX, maxY;
53
54          if(p1.x < p2.x) {
55              minX = p1.x;
56              maxX = p2.x;
57          } else {
58              minX = p2.x;
59              maxX = p1.x;
60          }
61
62          if(p1.y < p2.y) {
63              minY = p1.y;
64              maxY = p2.y;
65          } else {
66              minY = p2.y;
67              maxY = p1.y;
68          }
69
70          min = new Point2d(minX, minY);
71          max = new Point2d(maxX, maxY);
72      }
73
74
75      @Override
76      public void setPoints(List points) {
77          double minX, minY, maxX, maxY;
78          minX = Double.MAX_VALUE;
79          minY = Double.MAX_VALUE;
80          maxX = Double.MIN_VALUE;
81          maxY = Double.MIN_VALUE;
82

```

```

83     for (Object point : points) {
84         Point2d p = (Point2d) point;
85
86         if (p.x < minX) {
87             minX = p.x;
88         } else if (p.x > maxX) {
89             maxX = p.x;
90         }
91
92         if (p.y < minY) {
93             minY = p.y;
94         } else if (p.y > maxY) {
95             maxY = p.y;
96         }
97     }
98
99     min = new Point2d(minX, minY);
100    max = new Point2d(maxX, maxY);
101 }
102
103 @Override
104 public HyperRect getMbr(final HyperRect r) {
105     final Rect2d r2 = (Rect2d)r;
106     final double minX = Math.min(min.x, r2.min.x);
107     final double minY = Math.min(min.y, r2.min.y);
108     final double maxX = Math.max(max.x, r2.max.x);
109     final double maxY = Math.max(max.y, r2.max.y);
110
111     return new Rect2d(minX, minY, maxX, maxY);
112 }
113
114 @Override
115 public HyperRect getPDR() {
116     final double minX = min.x;
117     final double minY = min.y;
118     final double maxX = Double.MAX_VALUE;
119     final double maxY = Double.MAX_VALUE;
120
121     return new Rect2d(minX, minY, maxX, maxY);
122 }
123
124 @Override
125 public HyperRect getDDR() {
126     final double minX = max.x;
127     final double minY = max.y;
128     final double maxX = Double.MAX_VALUE;
129     final double maxY = Double.MAX_VALUE;
130
131     return new Rect2d(minX, minY, maxX, maxY);
132 }
133
134 @Override
135 public HyperRect getPDD() {
136     final double minX = Double.MIN_VALUE;
137     final double minY = Double.MIN_VALUE;
138     final double maxX = max.x;
139     final double maxY = max.y;
140
141     return new Rect2d(minX, minY, maxX, maxY);
142 }
143
144 @Override
145 public HyperRect getDDD() {
146     final double minX = Double.MIN_VALUE;

```

```
147         final double minY = Double.MIN_VALUE;
148         final double maxX = min.x;
149         final double maxY = min.y;
150
151         return new Rect2d(minX, minY, maxX, maxY);
152     }
153
154     @Override
155     public int getNDim() {
156         return 2;
157     }
158
159     @Override
160     public HyperPoint getCentroid() {
161         final double dx = min.x + (max.x - min.x)/2.0;
162         final double dy = min.y + (max.y - min.y)/2.0;
163
164         return new Point2d(dx, dy);
165     }
166
167     @Override
168     public HyperPoint getMin() {
169         return min;
170     }
171
172     @Override
173     public HyperPoint getMax() {
174         return max;
175     }
176
177     @Override
178     public double getRange(final int d) {
179         if(d == 0) {
180             return max.x - min.x;
181         } else if(d == 1) {
182             return max.y - min.y;
183         } else {
184             throw new IllegalArgumentException("Invalid dimension");
185         }
186     }
187
188     @Override
189     public boolean contains(final HyperRect r) {
190         final Rect2d r2 = (Rect2d)r;
191
192         return min.x <= r2.min.x &&
193             max.x >= r2.max.x &&
194             min.y <= r2.min.y &&
195             max.y >= r2.max.y;
196     }
197
198     @Override
199     public boolean intersects(final HyperRect r) {
200         final Rect2d r2 = (Rect2d)r;
201
202         if(min.x > r2.max.x ||
203            r2.min.x > max.x ||
204            min.y > r2.max.y ||
205            r2.min.y > max.y) {
206             return false;
207         }
208
209         return true;
210     }

```

```

211
212 @Override
213 public double cost() {
214     final double dx = max.x - min.x;
215     final double dy = max.y - min.y;
216     return Math.abs(dx*dy);
217 }
218
219 @Override
220 public double perimeter() {
221     double p = 0.0;
222     final int nD = this.getNDim();
223     for(int d = 0; d<nD; d++) {
224         p += 2.0 * this.getRange(d);
225     }
226     return p;
227 }
228
229 @Override
230 public boolean equals(Object o) {
231     if (this == o) return true;
232     if (o == null || getClass() != o.getClass()) return false;
233
234     final Rect2d rect2D = (Rect2d) o;
235
236     return min.equals(rect2D.min) &&
237         max.equals(rect2D.max);
238 }
239
240 @Override
241 public int hashCode() {
242     return min.hashCode() ^ 31*max.hashCode();
243 }
244
245 public String toString() {
246     final StringBuilder sb = new StringBuilder();
247     sb.append('(');
248     sb.append(Double.toString(min.x));
249     sb.append(',');
250     sb.append(Double.toString(min.y));
251     sb.append(' ');
252     sb.append('┌');
253     sb.append(' ');
254     sb.append(Double.toString(max.x));
255     sb.append(',');
256     sb.append(Double.toString(max.y));
257     sb.append(')');
258
259     return sb.toString();
260 }
261
262 public final static class Builder implements RectBuilder<Rect2d> {
263
264     @Override
265     public HyperRect getBBox(final Rect2d rect2D) {
266         return rect2D;
267     }
268
269     @Override
270     public HyperRect getMbr(final HyperPoint p1, final HyperPoint p2) {
271         return new Rect2d(p1.getCoord(0), p1.getCoord(1),
272             p2.getCoord(0), p2.getCoord(1));
273     }
274 }

```

275 }

### Kode Sumber 1.9 Kode sumber kotak dua dimensi

```

1  <!DOCTYPE html>
2  <html>
3  <head>
4    <title>Simulasi</title>
5    <link rel='stylesheet' href='/stylesheets/style.css' />
6  </head>
7  <body>
8    <div>
9      <label for="name">Source Node ID:</label>
10     <input type="number" id="src" name="src">
11   </div>
12   <div>
13     <label for="mail">Destination Node ID:</label>
14     <input type="number" id="dst" name="dst">
15   </div>
16   <div class="button">
17     <button onclick="findSP()">Find SP</button>
18   </div>
19 </body>
20 <script src="https://cdnjs.cloudflare.com/ajax/libs/jquery/3.3.1/jquery.min.js"></script>
21 <script src="https://d3js.org/d3.v3.min.js" charset="utf-8"></script>
22 <script src="https://d3js.org/d3-ease.v1.min.js"></script>
23 <script src='/javascripts/main.js'></script>
24 </html>

```

### Kode Sumber 1.10 Kode sumber visualisasi HMTL

```

1  let nodes = [
2  [0, 263.35423368818044, -41.66044206649194],
3  [1, 238.60036976480356, 45.9301533546878],
4  [2, 360.9318400625076, 21.176289431310977],
5  [3, 254.29981085411475, 249.67349487786697],
6  [4, 399.01470763693357, 320.1267998905551],
7  [5, 391.39813412204836, 223.01548757576876],
8  [6, 374.2608437135567, 122.09588850353987],
9  [7, 337.6158254583112, -100.68888680685225],
10 [8, 592.7007805965549, -114.48418451744215],
11 [9, 430.9188510156549, -39.75629868777065],
12 [10, 579.6646264266258, 0.6608449271561767],
13 [11, 715.1475438849548, 87.38629950182124],
14 [12, 729.757100047713, -62.241253736093114],
15 [13, 851.1191130234571, 58.82759610948176],
16 [14, 682.6181804926973, 229.43095243282818],
17 [15, 901.739214937918, 224.74437550517135],
18 [16, 787.6016375995532, 329.4186640829],
19 [17, 907.1746963026433, 375.5806910625377],
20 [18, 788.6284402031968, 461.49970397547213],
21 [19, 657.0853235616883, 403.0615594941273],
22 [20, 552.7840272538181, 322.0309432692764]
23 ]
24
25 let edges = [
26 [1, 1, 0],
27 [2, 2, 0],

```

```
28 [3, 2, 1],
29 [4, 3, 1],
30 [5, 4, 3],
31 [6, 5, 3],
32 [7, 5, 4],
33 [8, 6, 2],
34 [9, 6, 5],
35 [10, 7, 0],
36 [11, 8, 7],
37 [12, 9, 7],
38 [13, 9, 8],
39 [14, 10, 6],
40 [15, 10, 9],
41 [16, 11, 10],
42 [17, 12, 8],
43 [18, 12, 10],
44 [19, 13, 11],
45 [20, 13, 12],
46 [21, 14, 11],
47 [22, 15, 13],
48 [23, 16, 14],
49 [24, 16, 15],
50 [25, 17, 15],
51 [26, 17, 16],
52 [27, 18, 16],
53 [28, 18, 17],
54 [29, 19, 16],
55 [30, 19, 18],
56 [31, 20, 4],
57 [32, 20, 14],
58 [33, 20, 19]
59 ]
60
61 let svgWidth = 1100;
62 let svgHeight = 1100;
63
64 let viewWidth = 800;
65 let viewHeight = 800;
66
67 let domainX = [100, 1000]
68 let domainY = [-200, 500]
69
70 var xScale = d3.scale.linear()
71     .domain(domainX)
72     .range([0, viewWidth]);
73
74 var xScaleReverse = d3.scale.linear()
75     .domain([0, viewWidth])
76     .range(domainX);
77
78 var yScale = d3.scale.linear()
79     .domain(domainY)
80     .range([viewHeight, 0]);
81
82 var yScaleReverse = d3.scale.linear()
83     .domain([viewHeight, 0])
84     .range(domainY);
85
86 let svg = d3.select('body')
87     .append('svg')
88     .attr('width', svgWidth)
89     .attr('height', svgHeight);
90
91 let svgGridX = svg.selectAll('gridline')
```



```

92     .data([0, 5, 10, 15, 20])
93     .enter()
94     .append('line');
95
96     svgGridX.attr('x1', function(d) { return xScale(d); })
97     .attr('y1', function(d) { return yScale(0); })
98     .attr('x2', function(d) { return xScale(d); })
99     .attr('y2', function(d) { return yScale(20); })
100    .attr('class', 'gridline');
101
102    let svgGridY = svg.selectAll('gridline')
103    .data([0, 5, 10, 15, 20])
104    .enter()
105    .append('line');
106
107    svgGridY.attr('x1', function(d) { return xScale(0); })
108    .attr('y1', function(d) { return yScale(d); })
109    .attr('x2', function(d) { return xScale(20); })
110    .attr('y2', function(d) { return yScale(d); })
111    .attr('class', 'gridline');
112
113    let edgesEnter = svg.selectAll('edges')
114    .data(edges)
115    .enter();
116
117    function findNode(id) {
118        for(let i = 0; i < nodes.length; i++) {
119            if (nodes[i][0] == id) return nodes[i];
120        }
121    }
122    return null;
123 }
124
125 edgesEnter.append('line')
126 .attr('x1', function(d) {
127     return xScale(findNode(d[1])[1]); })
128 .attr('y1', function(d) {
129     return yScale(findNode(d[1])[2]); })
130 .attr('x2', function(d) {
131     return xScale(findNode(d[2])[1]); })
132 .attr('y2', function(d) {
133     return yScale(findNode(d[2])[2]); })
134 .attr('class', 'edges');
135
136 edgesEnter.append('text')
137 .attr('x', function(d){
138     x = findMiddleEdge(findNode(d[1]),
139     findNode(d[2]))[0]
140     return xScale(x);
141 })
142 .attr('y', function(d){
143     y = findMiddleEdge(findNode(d[1]),
144     findNode(d[2]))[1]
145     return yScale(y);
146 })
147 .attr('class', 'edge-label')
148 .text(function(a, i) { return "e" + a[0]; });
149
150 function findLocation(edgeId, pos){
151     let edge;
152     for (let i = 0; i < edges.length; i++) {
153         if (edges[i][0] == edgeId) {
154             edge = edges[i]
155         }

```

```

156   }
157
158   let node1 = findNode(edge[1])
159   let node2 = findNode(edge[2])
160
161   let x = (node2[1] - node1[1]) * pos + node1[1]
162   let y = (node2[2] - node1[2]) * pos + node1[2]
163
164   return [x, y]
165 }
166
167 let nodesEnter = svg.selectAll('nodes')
168   .data(nodes)
169   .enter()
170
171 nodesEnter.append('rect')
172   .attr('x', function(d) {
173     return xScale(d[1]) - 7.5;
174   })
175   .attr('y', function(d) {
176     return yScale(d[2]) - 7.5;
177   })
178   .attr('class', 'nodes')
179   .attr('width', 15)
180   .attr('height', 15);
181
182 nodesEnter.append('text').attr('x', function(d) {
183   return xScale(d[1]);
184 })
185   .attr('y', function(d) {
186     return yScale(d[2]) + 3; })
187   .attr('class', 'node-label')
188   .attr('text-anchor', 'middle')
189   .text(function(a, i) { return "n" + a[0]; });
190
191 function findMiddleEdge(node1, node2) {
192   x = (node2[1] + node1[1]) / 2;
193   y = (node2[2] + node1[2]) / 2;
194
195   return [x, y];
196 }
197
198 function getNode(i) {
199   return nodes[i].map(x => x * 10);
200 }
201
202 function getEdge(edges, edgeId) {
203   for (let i = 0; i < edges.length; i++) {
204     if (edges[i][0] == edgeId)
205       return edges[i]
206   }
207
208   return null
209 }
210
211 function getNode(nodes, nodeId) {
212   for (let i = 0; i < nodes.length; i++) {
213     if (nodes[i][0] == nodeId)
214       return nodes[i]
215   }
216
217   return null
218 }
219

```

```

120 function getEdgeLength(edgeId) {
121   let edge = getEdge(edges, edgeId)
122   let nodeSId = edge[1]
123   let nodeEId = edge[2]
124   let nodeS = getNode(nodes, nodeSId)
125   let nodeE = getNode(nodes, nodeEId)
126
127   let startX = nodeS[1]
128   let startY = nodeS[2]
129
130   let selisihX = nodeE[1] - nodeS[1]
131   let selisihY = nodeE[2] - nodeS[2]
132
133   return Math.sqrt(selisihX*selisihX + selisihY*selisihY)
134 }
135
136 function findTPCoordinatesByNodeId(nodeSId, nodeEId, TP) {
137   let nodeS = getNode(nodes, nodeSId)
138   let nodeE = getNode(nodes, nodeEId)
139
140   let startX = nodeS[1]
141   let startY = nodeS[2]
142
143   let selisihX = nodeE[1] - nodeS[1]
144   let selisihY = nodeE[2] - nodeS[2]
145
146   let length =
147     Math.sqrt(selisihX*selisihX + selisihY*selisihY)
148
149   return TP.map(function(tp) {
150     let ratio = tp / length
151
152     let posX = startX + selisihX * ratio
153     let x = xScale(posX) - 2
154
155     let posY = startY + selisihY * ratio
156     let y = yScale(posY) - 2
157
158     return {
159       x: x,
160       y: y
161     }
162   })
163 }
164
165 function findTPCoordinatesByEdgeId(edgeId, TP) {
166   let edge = getEdge(edges, edgeId)
167   let nodeSId = edge[1]
168   let nodeEId = edge[2]
169
170   return findTPCoordinatesByNodeId(nodeSId, nodeEId, TP)
171 }
172
173 function addTurningPointMarker(edgeId, TP) {
174   let tps = findTPCoordinatesByEdgeId(edgeId, TP)
175
176   let turningPointEnter = svg.selectAll('turning-point')
177     .data(tps)
178     .enter()
179
180   turningPointEnter.append('rect')
181     .attr('x', d => d.x)
182     .attr('y', d => d.y)
183     .attr('width', 5)

```

```

284     .attr('height', 5)
285     .attr('fill', 'blue')
286     .attr('class', 'turning-point_turning-point-' + edgeId)
287 }
288
289 function insertToGrid(SP) {
290     let edgeId = SP.edge
291     let SPs = SP.SP
292     let TP = SP.TP
293
294     addTurningPointMarker(edgeId, TP)
295 }
296
297 function removeEdgeData(edgeId) {
298     svg.selectAll('.turning-point-' + edgeId).remove()
299 }
300
301 function getSP(listOfSP, edgeId) {
302     let SP = listOfSP.filter(sp => sp.edge == edgeId)
303
304     if (SP) {
305         return SP
306     } else {
307         null
308     }
309 }
310
311 function getNodeLength(nodeSId, nodeEId) {
312     let nodeS = getNode(nodes, nodeSId)
313     let nodeE = getNode(nodes, nodeEId)
314
315     let startX = nodeS[1]
316     let startY = nodeS[2]
317
318     let selisihX = nodeE[1] - nodeS[1]
319     let selisihY = nodeE[2] - nodeS[2]
320
321     let length =
322         Math.sqrt(selisihX*selisihX + selisihY*selisihY)
323
324     return length
325 }
326
327 function getEdgeByNodeId(nodeSId, nodeEId) {
328     return edges.find(e => {
329         return (
330             (e[1] == nodeSId && e[2] == nodeEId) ||
331             (e[2] == nodeSId && e[1] == nodeEId)
332         );
333     });
334 }
335
336 svg.append("circle")
337     .attr("cx", 10)
338     .attr("cy", 10)
339     .attr("r", 5)
340     .attr('id', 'query');
341
342 function traverseQueryPoint(selector, nodeIds) {
343     let node = getNode(nodes, nodeIds[0])
344
345     let svgq = svg.select(selector)
346         .attr('cx', xScale(node[1]))
347         .attr('cy', yScale(node[2]))

```

```

348
349 let SPs = []
350 let TPs = []
351 let reverses = []
352
353 for (let i = 1; i < nodeIds.length; i++) {
354   let nodeId = nodeIds[i]
355   let nodeIdPrev = nodeIds[i-1]
356   let node = getNode(nodes, nodeId)
357   let nodePrev = getNode(nodes, nodeIdPrev)
358   let length = getNodeLength(nodeIdPrev, nodeId)
359
360   let nodePrevID = nodePrev[0]
361   let nodePrevX = nodePrev[1]
362   let nodePrevY = nodePrev[2]
363
364   let nodeNextID = node[0]
365   let nodeNextX = node[1]
366   let nodeNextY = node[2]
367
368   let edge = getEdgeByNodeId(nodeIdPrev, nodeId)
369   let edgeId = edge[0]
370
371   let tick = 0
372   let currentIndex = i
373
374   svgq = svgq.transition()
375     .ease(d3.easeLinear)
376     .duration(length * 50)
377     .attr('cx', xScale(node[1]))
378     .attr('cy', yScale(node[2]))
379     .tween("side-effects", function() {
380       return function() {
381         if (tick % 50 == 0) {
382           let realX = d3.select(this).attr('cx')
383           let realY = d3.select(this).attr('cy')
384
385           let currentX = xScaleReverse(realX)
386           let currentY = yScaleReverse(realY)
387
388           let diffX = Math.abs(currentX) - Math.abs(nodePrevX)
389           let diffY = Math.abs(currentY) - Math.abs(nodePrevY)
390
391           let deltaX = Math.abs(nodeNextX) - Math.abs(nodePrevX)
392           let deltaY = Math.abs(nodeNextY) - Math.abs(nodePrevY)
393
394           let diffXY = Math.sqrt(diffX*diffX + diffY*diffY)
395           let deltaXY = Math.sqrt(deltaX*deltaX + deltaY*deltaY)
396
397           let currentPosition = diffXY / deltaXY
398
399           let position = 0
400           if (nodePrevID == edge[1]) {
401             position = currentPosition
402           } else {
403             position = 1 - currentPosition
404           }
405
406           let realLength = length * position
407
408           let maybeSP = getSP(listOfSP, edgeId)
409
410           let isSPFound = false
411           if (maybeSP.length > 0) {

```

```

412         let SP = maybeSP[0].SP
413
414         for (let i = 0; i < SP.length; i++) {
415             let dStart = SP[i].s
416             let dEnd = SP[i].e
417
418             if (dStart < realLength && realLength < dEnd) {
419                 isSPFound = true
420                 console.log(SP[i].sp)
421                 break
422             }
423         }
424
425         if (!isSPFound) {
426             console.log([])
427         } else {
428             console.log([])
429         }
430     }
431 }
432
433     tick++
434 }
435 })
436 }
437
438 return svgq
439 }
440
441 function getData() {
442     $.ajax({
443         url: 'http://localhost:8080/data',
444     })
445     .done(function(result) {
446         let data = result.data
447         listOfSP = result.data
448
449         for (var i = 0 ; i < data.length; i++) {
450             // console.log("update edge " + data[i].edge)
451             removeEdgeData(data[i].edge)
452             insertToGrid(data[i])
453         }
454     })
455     .fail(function() {
456         console.log('failed')
457     })
458
459     setTimeout(function(){
460         getData()
461     }, 500);
462 }
463
464 function getObjects() {
465     $.ajax({
466         url: 'http://localhost:8080/objects',
467     })
468     .done(function(result) {
469         let objects = result.data
470
471         svg.selectAll('.objects')
472             .remove()
473
474         svg.selectAll('.object-label')
475             .remove()

```

```

476
477 let objectsEnter = svg.selectAll('objects')
478   .data(objects)
479   .enter()
480
481 objectsEnter
482   .append("circle")
483   .attr('cx', function(d){ return xScale(findLocation(d[1], d[2])[0]); })
484   .attr('cy', function(d){ return yScale(findLocation(d[1], d[2])[1]); })
485   .attr("r", 8)
486   .attr("class", "objects")
487
488 objectsEnter.append("text")
489   .attr('dx', function(d){ return xScale(findLocation(d[1], d[2])[0]); })
490   .attr('dy', function(d){ return yScale(findLocation(d[1], d[2])[1]) + 3; })
491   .attr('text-anchor', 'middle')
492   .attr('class', 'object-label')
493   .append("tspan")
494     .text(function(d) { return "O"; })
495   .append("tspan")
496     .attr("baseline-shift", "sub")
497     .text(function(d) { return d[0]; });
498 })
499 .fail(function() {
500   console.log('failed')
501 })
502
503 setTimeout(function(){
504   getObjects()
505 }, 500);
506 }
507
508 getObjects()
509
510 getData()
511
512 function findSP() {
513   let srcID = document.getElementById('src').value
514   let dstID = document.getElementById('dst').value
515
516   let data = {
517     src: srcID,
518     dst: dstID
519   }
520
521   $.ajax({
522     url: 'http://localhost:8080/getPath?src=' + srcID + '&dst=' + dstID,
523   })
524   .done(function(path) {
525     traverseQueryPoint('#query', path)
526   })
527   .fail(function() {
528     console.log('failed')
529   })
530 }

```

Kode Sumber 1.11 Kode sumber visualisasi utama dengan JavaScript

```

1 body {
2   padding: 50px;
3   font: 14px "LucidaGrande", Helvetica, sans-serif;

```

```
4 }
5
6 a {
7   color: #00B7FF;
8 }
9
10 .gridline {
11   stroke: green;
12   stroke-width: 1;
13 }
14
15 .nodes {
16   fill: gray;
17 }
18
19 .node-label {
20   display: hidden;
21   font: bold 10px Arial;
22 }
23
24 .edges {
25   stroke: black;
26   stroke-width: 2;
27 }
28
29 .objects {
30   fill: aqua;
31   stroke: black;
32 }
33
34 .object-label {
35   font: bold 10px Arial;
36 }
37
38 .edge-label {
39   font: Bold 10px Arial;
40   fill: brown;
41 }
42
43 #query {
44   fill: orange
45 }
46
47 .hidden {
48   visibility: hidden;
49 }
```

Kode Sumber 1.12 Kode sumber visualisasi dengan CSS



## BIODATA PENULIS



**Syukron Rifail Muttaqi**, lahir di Kabupaten Madiun tanggal 17 Februari 1996. Penulis merupakan anak pertama dari 2 bersaudara. Penulis menyelesaikan pendidikan SMA-nya di SMA Negeri 2 Kota Madiun (2011-2014). Selanjutnya, penulis berkesempatan mengenyam program studi kuliah sarjana di Departemen Informatika ITS.

Pada dua tahun pertama selama kuliah di ITS, penulis aktif menjadi anggota Unit Kegiatan Mahasiswa Merpati Putih dan Koperasi Mahasiswa dr. Angka. Pada tahun selanjutnya, penulis menjadi asisten mata kuliah Sistem Operasi dan Jaringan Komputer selama dua tahun berturut-turut. Selama menjalani pendidikan S1, penulis menjadi asisten laboratorium Arsitektur dan Jaringan Komputer. Selain berminat di bidang Jaringan, penulis juga menyukai bidang Rekayasa Perangkat Lunak. Penulis juga ikut bergabung di beberapa proyek perangkat lunak semasa kuliah. Penulis dapat dihubungi melalui surel di alamat *syukronrifai[di]gmail[titik]com*.